

# اتوماتای یادگیر سلولی و کاربردهای آن\*

محمد رضا میبدی (استاد)

حمید بیگی (دانشجوی دکتری)

مسعود طاهرخانی (کارشناس ارشد)

آزمایشگاه محاسبات نرم، دانشکده مهندسی کامپیوتر، دانشگاه صنعتی امیرکبیر  
و مرکز مطالعات فیزیک نظری و ریاضیات، پژوهشکده علوم کامپیوتر

در این نوشتار مدل جدیدی تحت عنوان اتماتای یادگیر سلولی (*CLA*) معرفی می‌شود و رفتار آن از طریق شبیه‌سازی رایانه‌یی مورد مطالعه و ارزیابی قرار می‌گیرد. براساس این مدل، یک مجموعه اتماتای یادگیر (*LA*) در شبکه‌یی تغییر آنچه در اتماتای سلولی وجود دارد، قرار گرفته‌اند و نسبت به رفتار همسایه‌های خود عکس العمل نشان می‌دهند. هر اتماتا در این مدل، بر اساس یک الگوریتم یادگیری عمل می‌کند و در طی زمان یاد می‌گیرد که در مقابل محیط پیش‌روش چگونه بهترین پاسخ را بروز دهد. این مدل پیشنهادی کاربردهای متعددی دارد که از آن جمله می‌توان به مدل کردن سیستم‌های اجتماعی، سیستم‌های زیست‌شناسی و پردازش تصاویر اشاره کرد. در این گزارش به دو نمونه‌ی انتشار شایعه و پردازش تصاویر اشاره خواهد شد.

## مقدمه

بررسی برخی از قوانین استفاده شده، نتایج حاصل از انجام آزمایشات با این قوانین و اتماتاهای مختلف را ارائه می‌کنیم. در خاتمه، دو کاربرد از اتماتای یادگیر سلولی در پدیده انتشار شایعه و پردازش تصاویر ارائه خواهد شد.

اتوماتای سلولی در اوخر دهه ۱۹۴۰ توسط یان ون نیومان مطرح شد؛ سپس ریاضیدانی به نام استانیلاو یولام آن را به عنوان مدلی برای بررسی رفتار سیستم‌های پیچیده پیشنهاد کرد.<sup>[۱]</sup> اتماتاهای

سلولی سیستم‌های دینامیکی اند که ظرفیت اطلاعاتی پائینی دارند و به همین دلیل برای برخی کاربردها مطلوب نیستند. ظرفیت اطلاعاتی این سیستم‌ها را می‌توان به کمک یادگیری افزایش داد.<sup>[۲]</sup>

اتوماتای یادگیر اولین بار، توسط م. ل. تستلین در اوایل دهه ۱۹۶۰ در شوروی سابق مطرح شد. اتماتاهای یادگیر در محیطی تصادفی عمل می‌کنند و قادرند براساس ورودی‌های دریافت شده از محیط، احتمال انجام عملیات خود را بروز درآورند و از این طریق کارایی خود را بهبود بخشند.

اتوماتای سلولی مدلی است برای سیستم‌هایی که در آنها چندین مؤلفه‌ی ساده برای تولید الگوهای پیچیده با هم همکاری می‌کنند. اتماتای سلولی متشکل است از یک شبکه‌ی منظم سلولی، که هر سلول می‌تواند مقدار مختلف ( $k$ ) باشد. سلول‌های اتماتای سلولی در زمان‌های گستره بطور همزمان و بر طبق یک قانون محلی به نام  $\Phi$  به‌هنگام می‌شوند که در آن مقدار هر سلول براساس مقادیر سلول‌های همسایه تعیین می‌شود. اتماتای سلولی بر اساس معیارهای مورد بررسی به دسته‌های مختلف تقسیم می‌شود. مثلاً اتماتای سلولی براساس معیار  $k$  به اتماتای سلولی یک بعدی، دو بعدی.... تقسیم می‌شود و براساس مقدار  $k$  به اتماتای سلولی دودویی ( $k=2$ ) و اتماتای سلولی چندمقداره ( $k>2$ ) تقسیم می‌شوند. همچنین اتماتای سلولی را براساس شکل همسایه‌ها می‌توان به دو دسته اتماتای سلولی با مرز تناوبی و اتماتای سلولی با مرز غیر تناوبی تقسیم کرد. مثلاً اتماتای سلولی یک بعدی با  $n$  سلول (شکل ۱)، در صورتی که سلول‌های شماره‌ی ۱ و  $n$  همسایه باشند، اتماتای سلولی با مرز تناوبی، و در صورتی که

در این نوشتار، با توجه به پیشگاهی دو مدل فوق، مدل جدیدی به نام اتماتای یادگیر سلولی (*CLA*) پیشنهاد می‌شود. در این مدل هر سلول در اتماتای سلولی مجهز به یک اتماتای یادگیر است که وضعیت این سلول را مشخص می‌کند. هر اتماتای یادگیر، براساس یک الگوریتم یادگیری عمل می‌کند و در طی زمان یاد می‌گیرد که از طریق تعامل ( فعل و انفعال) با محیط چگونه بهترین پاسخ را انتخاب کند. در حالت خاص، مدل جدید رفتار اتماتای سلولی را از خود نشان می‌دهد و به همین دلیل *CLA* در برگیرنده *CA* می‌باشد.<sup>[۳]</sup> در ادامه، ضمن شرح اتماتای سلولی و اتماتای یادگیر، به معرفی مدل جدید اتماتای یادگیر سلولی خواهیم پرداخت. سپس با

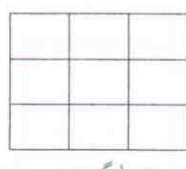
که عدد ۹۰ معادل دهدۀی عدد (۱۰۱۰۱۰) است. روش دیگری که برای نمایش این دسته از قوانین به کار می‌رود عبارت منطقی به شکل مجموع حاصل ضرب استاندارد<sup>۳</sup> است.

برای نمایش قوانین فراگیر از شبوهی می‌شود که در آنها سلول‌ها برای تعیین مقدار یک سلول رأی‌گیری می‌کنند. در این دسته از قوانین، سلول مرکزی عضوی از مجموعه همسایگان خود در نظر گرفته می‌شود. در این شبوه قانون رابه صورت  $N \cdot M$  خود را می‌دانیم که  $M = \{M_1, M_2, \dots, M_n\}$  و  $N = \{N_1, N_2, \dots, N_m\}$ . و آنرا چنین تفسیر می‌کنند: اگر مقدار سلول مرکزی یک باشد، و تعداد همسایه‌هایی که مقدار آنها یک است متعلق به مجموعه  $N$  باشد، مقدار سلول مرکزی برابر صفر خواهد شد؛ و اگر مقدار سلول مرکزی صفر باشد و تعداد همسایه‌هایی که مقدار آنها یک است متعلق به مجموعه  $M$  باشد، مقدار سلول مرکزی برابر یک خواهد شد. مثلاً قانون ۱۲۳۴-۰۵۶۷۸۹ که قانون مرکزی برابر یک خواهد شد: اگر مقدار سلول مرکزی یک باشد و تعداد همسایه‌هایی که مقدار آنها یک است بزرگ‌تر یا مساوی ۵ باشد، مقدار سلول مرکزی برابر صفر خواهد شد و اگر مقدار سلول مرکزی صفر باشد و تعداد همسایه‌هایی که مقدار آنها یک است کوچک‌تر از ۵ باشد مقدار سلول مرکزی برابر یک خواهد شد.

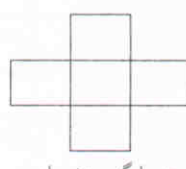
مطالب فوق را می‌توان به اتماتای سلولی با ابعاد بیشتر نیز تعمیم داد. مثلاً برای یک اتماتای سلولی دو بعدی می‌توان چندین ساختار برای شبکه و همسایه‌ها در نظر گرفت که در اینجا فقط شبکه‌های مربعی و دو ساختار ارائه شده در شکل ۲ برای همسایه‌ها در نظر گرفته شده است.

قوانين اتماتای سلولی دودویی را براساس رفتارشان در طی یک دوره‌ی طولانی به چهار دسته مجزا می‌توان تقسیم کرد.<sup>۱۱-۱۲</sup> I: دسته‌ی I رفتار نقطه‌ی حدی یا بسیار کسل‌کننده دارند و به سوی یک وضعیت همگون با شروع از هر حالت اولیه می‌روند. مثلاً مقدار همه‌ی سلول‌ها صفر و یا مقدار همه‌ی سلول‌ها یک می‌شوند. این دسته شامل قوانین ۰، ۴، ۱۶، ۳۲، ۵۴، ۴۸، ۳۶، ۲۲، ۱۶، ۵۶۲، ۶۰ است.

II: دسته‌ی II رفتار چرخه‌ی حدی یا کسل کننده دارند و نهایتاً مثل یک فیلتر ساختارهای ساده، جدا و تناوبی می‌سازند. ساختارهای

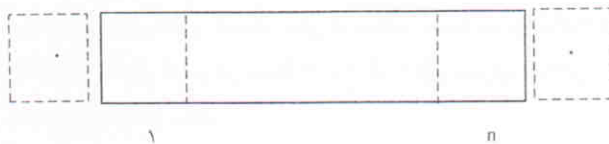


همایگی مور



همایگی ون نومان

شکل ۲. انواع همسایگی‌های مهم در اتماتای سلولی.



شکل ۱. اتماتای سلولی یک بعدی.

سلول‌های ۱ و  $n$  دو سلول مجازی همسایه با مقدار صفر باشند، اتماتای سلولی با مرز غیرتناوبی می‌نمایند.

در اتماتای سلولی یک بعدی، مقدار سلول  $i$  (برای  $1 \leq i \leq n$ ) در زمان  $t$  که با  $a_i(t)$  نشان داده می‌شود، چنین محاسبه می‌شود:

$$a_i(t+1) = \Phi[a_{i-1}(t), a_i(t), a_{i+1}(t)]$$

در رابطه‌ی فوق، بستگی قانون  $\Phi$  به مقدار همسایه‌ها را قانون عمومی گویند و اگر تابعی از مجموع مقادیر سلول‌های همسایه و سلول مرکزی باشد آنرا قانون فراگیر می‌نمایند و چنین بیان می‌کنند:

$$a_i(t+1) = \Phi[a_{i-1}(t) + a_i(t) + a_{i+1}(t)]$$

در صورتی که قانون  $\Phi$  تابعی از مجموع مقادیر سلول‌های همسایه و مقدار سلول مرکزی باشد، آنرا قانون فراگیر خارجی می‌نمایند و چنین نشان می‌دهند:

$$a_i(t+1) = \Phi[a_i(t), a_{i-1}(t) + a_{i+1}(t)]$$

همچنین قانون  $\Phi$  می‌تواند قطعی یا احتمالی باشد. در صورتی که  $\Phi$  یک تابع تصادفی باشد آنرا قانون احتمالی و در غیر این صورت آنرا قانون قطعی می‌نمایند.

قانون  $\Phi$  را می‌توان به شکل‌های مختلفی نشان داد. شبوهی معمول نمایش قانون‌های عمومی، استفاده از یک شماره برای قانون است. در این شبوه، شماره‌ی قانون برابر است با معادل دهدۀی مقدار جدید سلول مرکزی به‌ازای تمام ترکیبات مختلف سلول‌های همسایه. مثلاً در اتماتای سلولی یک بعدی شماره‌ی قانون ۹۰ به صورت زیر است:

$(a_{i-1}(t), a_i(t), a_{i+1}(t))$	$a_i(t+1)$
(۱,۱,۱)	۰
(۱,۱,۰)	۱
(۱,۰,۱)	۰
(۱,۰,۰)	۱
(۰,۱,۱)	۱
(۰,۱,۰)	۰
(۰,۰,۱)	۱
(۰,۰,۰)	۰

$\beta(n)$  می‌تواند به طور گسته یکی از مقادیر محدود در فاصله‌ی  $[1, \infty)$  را اختیار کند و در محیط از نوع  $S$ ,  $(n)$  متغیری تصادفی در فاصله‌ی  $[1, \infty)$  است.

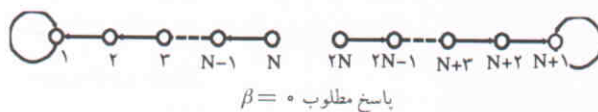
عبارت است از احتمال این‌که عمل  $c$  نتیجه‌ی نامطلوب<sup>۵</sup>

داشته باشد است. در محیط ایستا<sup>۶</sup> مقادیر  $c$  بدون تغییر باقی می‌مانند، حال آن‌که در محیط غیرایستا<sup>۷</sup> این مقادیر در طی زمان تغییر می‌کنند. اتماتاهای یادگیر به دو گروه تقسیم می‌شوند:

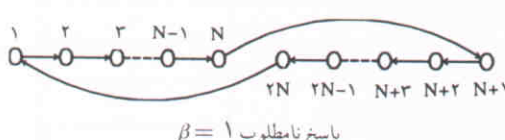
اتوماتای یادگیر با ساختار ثابت:<sup>۸</sup> اتماتای یادگیر با ساختار ثابت را با  $\alpha, \beta, \gamma, F, G, \phi$  نشان می‌دهند که در آن  $\alpha = \{\alpha_1, \alpha_2, \dots, \alpha_r\}$  مجموعه‌ی رفتارها،  $\beta = \{\beta_1, \beta_2, \dots, \beta_m\}$  مجموعه‌ی ورودی‌ها،  $\gamma = \{\phi_1, \phi_2, \dots, \phi_s\}$  مجموعه‌ی وضعیت‌های داخلی،  $F: \phi \times \beta \rightarrow \phi$  تابع تولید وضعیت جدید، و  $G: \phi \rightarrow \psi$  تابع خروجی است که وضعیت کنونی را به خروجی بعدی می‌نگارد. در ادامه به اتماتاهای با ساختار ثابت مورد بحث در این نوشتار اشاره شده است.

اتوماتای  $L_{2N+2}$ : این اتماتا تعداد پاداش‌ها و جریمه‌های دریافت شده برای هر رفتار را حفظ می‌کند و فقط زمانی که تعداد جریمه‌ها بیشتر از پاداش‌ها می‌شود، رفتار دیگری انتخاب می‌کند. نمودار تغییر وضعیت این اتماتا مطابق شکل ۴ است.

اتوماتای  $G_{2N+2}$ : در این اتماتا برخلاف  $L_{2N+2}$ , رفتار  $\alpha$  حداقل  $N$  بار انجام می‌شود (پس از گرفتن  $N$  جریمه)، تا این‌که نهایتاً رفتار  $\alpha$  دوباره انتخاب شود. نمودار تغییر وضعیت این اتماتا برای پاسخ مطلوب مانند اتماتای  $L_{2N+2}$  (شکل ۴)، و برای پاسخ نامطلوب مطابق شکل ۵ است.



شکل ۴. نمودار تغییر وضعیت اتماتای  $L_{2N+2}$



شکل ۵. نمودار تغییر وضعیت اتماتای  $G_{2N+2}$ .

ساده‌ی ایجاد شده یا پایدارند یا تناوبی، که در این صورت معمولاً دوره‌ی تناوب کوتاهی دارند. گاهی نیز الگوهایی به وجود می‌آورند که به سمت راست یا چپ انتقال داده می‌شوند. این دسته شامل قوانین ۴۰، ۴۲، ۴۴، ۳۸، ۳۴، ۳۰، ۲۸، ۲۶، ۲۲، ۱۸، ۱۴، ۱۲، ۱۰، ۶، ۲ قوانین ۵۰ است.

III: این دسته به حالت‌های غیرتناوبی و غیرقابل پیش‌بینی از نظر فضای زمان<sup>۹</sup> منجر می‌شوند و رفتار جالبی دارند. این دسته شامل قوانین ۴۴، ۴۲، ۳۸، ۳۴، ۳۰، ۲۸، ۲۶، ۲۲، ۱۸، ۱۴، ۱۲، ۱۰، ۶، ۲ است.

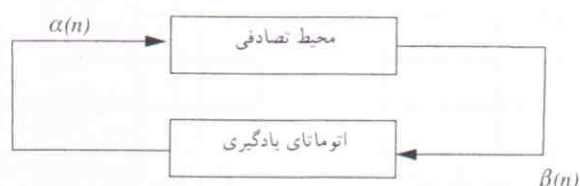
IV: در نهایت، مهم‌ترین دسته مربوط به قوانینی است که متعلق به هیچ یک از سه دسته فوق نبوده و رفتار پیچیده‌یی از خود نشان می‌دهند. قوانین این دسته رفتار بسیار جالبی دارند و ساختارهای متشر شونده و گاهی با عمر طولانی ایجاد می‌کنند. ادعا شده است که اینگونه قوانین از ویژگی جهان محاسباتی برخوردارند. این دسته شامل قوانین ۵۲، ۲۰ است.

اتوماتای سلولی کاربردهای فراوانی دارد که برخی از آنها عبارت‌اند از: تولیدکننده‌ی اعداد تصادفی [۱۳ و ۱۲]، رمزنگاری [۱۶ و ۱۵، ۱۴]، انتشار شایعه [۱۷]، پردازش تصویر [۱۸ و ۱۹] و مطالعه‌ی زبان‌های رسمی [۲۰].

### اتوماتای یادگیر

اتوماتای یادگیر مدلی انتزاعی است که توانایی انجام تعداد محدودی اعمال را دارد. هر عمل انتخاب شده توسط محیطی احتمالی ارزیابی می‌شود و پاسخی به اتماتای یادگیر داده می‌شود. اتماتای یادگیر با استفاده از این پاسخ، عمل خود را برای مرحله‌ی بعد انتخاب می‌کند. [۲۱ و ۲۰] شکل ۳ نشان‌گر ارتباط بین اتماتای یادگیر و محیط است.

محیط را می‌توان با سه‌تایی  $E \equiv \{\alpha, \beta, c\}$  نشان داد که در آن  $\alpha \equiv \{\alpha_1, \alpha_2, \dots, \alpha_r\}$  مجموعه‌ی ورودی‌ها،  $\beta \equiv \{\beta_1, \beta_2, \dots, \beta_m\}$  مجموعه‌ی خروجی‌ها و  $c \equiv \{c_1, c_2, \dots, c_r\}$  مجموعه‌ی احتمالهای جریمه است. هرگاه  $\beta$  مجموعه‌ی دو عضوی باشد، محیط از نوع  $P$  است. در چنین محیطی  $\beta_1 = 1$  به عنوان جریمه، و  $\beta_2 = 0$  به عنوان پاداش در نظر گرفته می‌شود. در محیط از نوع  $Q$ .



شکل ۳. ارتباط بین اتماتای یادگیر و محیط.

سمت چپ دارای  $m$  وضعیت، و تماماً مربوط به رفتار  $\alpha_1$  است. قسمت عمودی سمت راست نیز دارای  $m$  وضعیت و تماماً مربوط به رفتار  $\alpha_2$  است. در این دو قسمت رفتار اتوماتا شبیه  $L_{2N}$  است. وضعیت افقی در قسمت  $H$  به طور یک در میان مربوط به رفتارهای  $\alpha_1$  و  $\alpha_2$  هستند. شماره وضعیت‌های رفتار  $\alpha_1$  از راست به چپ و با نشان داده می‌شوند و شماره وضعیت‌های رفتار  $\alpha_2$  از چپ به راست و با نشان داده می‌شوند.

وقتی سیستم در یکی از وضعیت‌های  $H$  است، هم پاداش و هم جریمه باعث تغییر رفتار می‌شود. می‌توان گفت که اتوماتای پونومارف خصوصیات اتوماتاهای تستین و کرینسکی را با هم دارند. قسمت افقی را دوره‌ی آموزش می‌گویند، در حالی که قسمت‌های عمودی متناظر با وضعیت‌هایی هستند که در آنها اتوماتا تصمیم می‌گیرد تارفتاب را که یادگرفته است، انجام دهد.

اتوماتای یادگیر با ساختار متغیر<sup>۱</sup>: اتوماتای یادگیر با ساختار متغیر را باید  $\alpha, \beta, p, T$  تایی  $\{\alpha_i, \beta_i, p_i, T\}_{i=1}^r$  نشان می‌دهند که  $\beta \equiv \{\beta_1, \beta_2, \dots, \beta_m\}$  مجموعه‌ی رفتارها،  $\alpha \equiv \{\alpha_1, \alpha_2, \dots, \alpha_r\}$  مجموعه‌ی ورودی‌ها،  $p \equiv \{p_1, p_2, \dots, p_r\}$  بردار احتمال و  $T[n+1] = T[\alpha(n), \beta(n), p(n)]$  الگوریتم یادگیری است. در این نوع اتوماتا، اگر عمل  $\alpha_i$  در مرحله‌ی  $n$  انتخاب شود و پاسخ مطلوب از محیط دریافت کند، احتمال  $p_i$  افزایش و سایر احتمال‌ها کاهش می‌یابند. در پاسخ نامطلوب احتمال  $p_j$  کاهش و سایر احتمال‌ها افزایش می‌یابند. به هر حال، تغییرات به گونه‌یی صورت می‌پذیرد که حاصل جمع  $p_i$ ها همواره ثابت و مساوی یک باقی بماند. الگوریتم زیر یک نمونه از الگوریتم‌های یادگیری خطی است.<sup>[۲]</sup>

الف) پاسخ مطلوب:

$$p_i(n+1) = p_i(n) + a[1 - P_i(n)]$$

$$P_j(n+1) = (1-a)P_j(n) \quad \forall j \neq i$$

ب) پاسخ نامطلوب:

$$P_i(n+1) = (1-b)P_i(n)$$

$$P_j(n+1) = \frac{b}{r-1} + (1-b)P_j(n) \quad \forall j \neq i$$

در روابط فوق،  $a$  پارامتر پاداش و  $b$  پارامتر جریمه است. با توجه

به مقادیر  $a$  و  $b$  سه حالت زیر را می‌توان در نظر گرفت:

الف) زمانی که  $a$  و  $b$  با هم برابر باشند، الگوریتم را  $L_{RP}$  می‌نامیم.

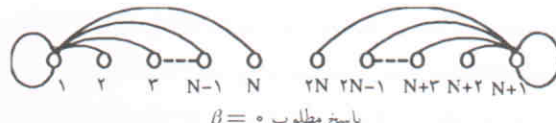
ب) زمانی که  $a$  از  $b$  خیلی کوچک‌تر باشد، الگوریتم را  $L_{REP}$  می‌نامیم.

پ) زمانی که  $b$  مساوی صفر باشد، الگوریتم را  $L_{RI}$  می‌نامیم.

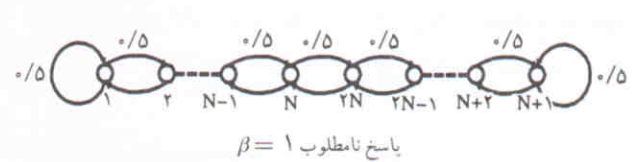
اتوماتای کرینسکی: رفتار این اتوماتا به هنگام پاسخ نامطلوب همچون  $L_{2N}$  است. اما برای پاسخ مطلوب هر وضعیت  $\phi_i$  به وضعیت  $\phi_j$ ، و هر وضعیت  $(i=1, 2, \dots, N)$  به وضعیت  $(j=N+1, N+2, \dots, 2N)$  منتقل می‌شود. بنابراین همیشه  $N$  پاسخ نامطلوب متولی لازم است تا اتوماتا رفتار خود را عوض کند. نمودار تغییر وضعیت این اتوماتا برای پاسخ نامطلوب مانند اتوماتای  $L_{2N}$  (شکل ۴)، و برای پاسخ مطلوب مطابق شکل ۶ است.

اتوماتای کریلوف: تغییر وضعیت در این اتوماتا، زمانی که پاسخ محیط مطلوب است، مانند اتوماتای  $L_{2N}$  است. اما زمانی که پاسخ محیط نامطلوب است، هر وضعیت  $\phi_i$  با احتمال  $5/0$  به وضعیت  $\phi_{i+1}$ ، و با احتمال  $5/0$  به وضعیت  $\phi_{i-1}$  منتقل می‌شود (شکل ۷).

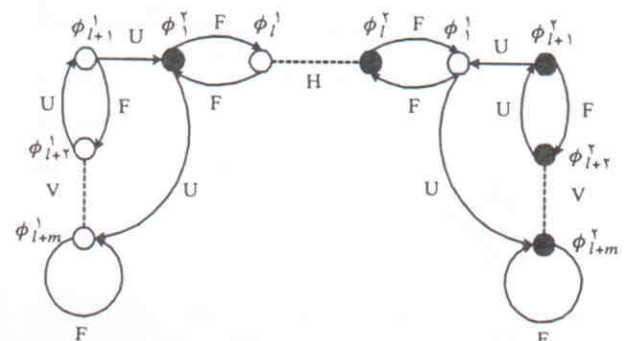
اتوماتای پونومارف: نمودار تغییر وضعیت این اتوماتا مطابق شکل ۸ است. دایره‌های خالی وضعیت‌های رفتار  $\alpha_1$  و دایره‌های توبیر، وضعیت‌های رفتار  $\alpha_2$  را نشان می‌دهند. در این شکل  $F$  به معنای پاسخ مطلوب، و  $U$  به معنای پاسخ نامطلوب است. شکل دارای دو قسمت عمودی ( $V$ ) و یک قسمت افقی ( $H$ ) است. قسمت عمودی



شکل ۶. نمودار تغییر وضعیت اتوماتای کرینسکی.



شکل ۷. نمودار تغییر وضعیت اتوماتای کریلوف.



شکل ۸. نمودار تغییر وضعیت اتوماتای پونومارف.

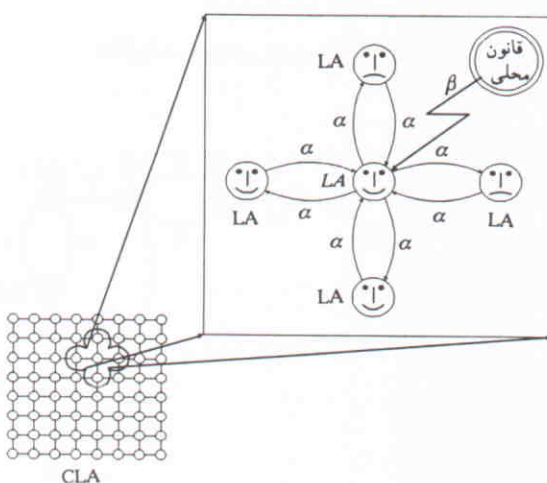
## اتوماتای یادگیر سلولی

اتوماتای یادگیر سلولی به صورت همزمان انجام می‌شود. بعد از بهروز در آوردن، هر اتماتا در اتماتای یادگیر سلولی دوباره رفتاری از مجموعه خود را انتخاب و انجام می‌دهد. نتیجه‌ی رفتار منجر به دادن پاداش یا جریمه‌ی آن می‌شود. فرایند انتخاب رفتار و تعلق گرفتن پاداش یا جریمه تازمانی که سیستم به حالت پایدار برسد، یا عیار از پاداش یا جریمه قبل از قرار شود ادامه می‌یابد. عمل به روز در آوردن ساختار اتماتاهای موجود در اتماتای یادگیر سلولی طی الگوریتم یادگیری انجام می‌گیرد.

شکل ۹ اتماتای یادگیر سلولی را نشان می‌دهد که در آن از همسایگی و نیومان استفاده شده است. در این شکل، به اتماتاهایی که خوشحال‌اند در مرحله‌ی قبل پاداش و اتماتاهایی که ناراحت‌اند در مرحله‌ی قبل جریمه تعلق گرفته است. قانون حاکم بر اتماتای یادگیری سلولی، همانند اتماتای سلولی می‌تواند به صورت فراگیر و عمومی باشد.

ویژگی‌های اساسی اتماتای یادگیر سلولی طرح شده در این نوشتار عبارت‌اند از: فضا و زمان گستره، برخورداری هر سلول از یک اتماتای یادگیر، بهروز در آوردن توأم‌ان اتماتاهای یادگیر سلول‌ها، یکسان بودن اتماتاهای یادگیری تخصیص داده شده به سلول‌ها، استفاده اتماتای یادگیر سلولی از همسایگی مور و با مرز تنابی، و برخورداری هر اتماتای یادگیر از دورفتار  $\alpha_1$  و  $\alpha_2$ . مقدار عمل  $\alpha_1$  برابر یک و مقدار عمل  $\alpha_2$  برابر صفر در نظر گرفته شده است. قوانین به‌طور قطعی اعمال می‌شوند و قانون در هر سلول فقط بستگی به رفتارهای انتخاب شده توسط همسایه‌های آن سلول دارد.

آنتروپی معیاری است برای اندازه‌گیری میزان اطلاعاتی که توسط یک منبع تولید، یا توسط فرد شاهد دریافت می‌شود. در مدل اتماتای یادگیرنده‌ی سلولی، آنتروپی به عنوان معیاری برای



شکل ۹. اتماتای یادگیر سلولی (CLA).

اتوماتای یادگیر سلولی مدلی است برای سیستم‌هایی که از اجزاء ساده‌بی تشکیل شده‌اند و رفتار هر جزء براساس رفتار همسایگانش و نیز تجربیات گذشته‌اش تعیین و اصلاح می‌شود. اجزاء ساده‌ی تشکیل دهنده‌ی این مدل، از طریق تعامل ( فعل و انفعال) با یکدیگر می‌توانند رفتار پیچیده‌ی از خود نشان دهند. هر اتماتای یادگیر سلولی، از یک اتماتای سلولی تشکیل شده است که هر سلول در آن مجهر است به یک یا چند اتماتای یادگیر، که وضعیت این سلول را مشخص می‌کند. مانند اتماتای سلولی، قانون محلی  $\Phi$  بر اتماتای یادگیر سلولی حاکم است که تعیین می‌کند آیا به رفتار انتخاب شده توسط یک اتماتا در یک سلول پاداش تعلق می‌گیرد یا جریمه. دادن جریمه یا پاداش ساختار اتماتای یادگیر سلولی را بهمنظر نیل به یک هدف مشخص، به روز در می‌آورد.

اتوماتای یادگیر سلولی به صورت پنج تابی  $L_i, \Phi, \Omega, A, \lambda_i$  نشان داده می‌شود.  $\{\lambda_1, \lambda_2, \dots, \lambda_n\} = \Omega$  مجموعه سلول‌های موجود در اتماتای یادگیر سلولی است که در یک شبکه‌ی دکارتی قرار گرفته‌اند.  $A = \{a_1, a_2, \dots, a_k\}$  مجموعه رفتارهای مجاز یک اتماتای یادگیر ساکن در یک سلول است ( $a_i$ )<sup>t</sup> رفتار انجام گرفته در سلول  $(\lambda_i)$  در زمان  $t$  نشان می‌دهد و قانون  $\Phi$  بر اتماتای یادگیر سلولی است.  $\{\Omega_1, \Omega_2, \dots, \Omega_m\} = \Omega$  مجموعه سلول‌های همسایه‌ی یک سلول در اتماتای یادگیر سلولی است و  $L = \{L_1, L_2, \dots, L_r\}$  مجموعه اتماتاهای یادگیری است که هر سلول به آنها مجهر است. برخوردار است:

$$1) \lambda_i \in \Omega(\lambda_i) \quad \forall \lambda_i \in \Delta$$

$$2) \lambda_i \in \Omega(\lambda_j) \quad \text{iff } \lambda_j \in \Omega(\lambda_i) \quad \forall \lambda_i, \lambda_j \in \Delta$$

با فرض این که  $\{\lambda_i\} \cup \{\lambda_j\} = \Omega(\lambda_i)$  قانون حاکم بر سیستم را می‌توان به صورت تابع  $(\lambda_i)^{t+1} = A^{t+1}$  تعریف کرد:

$$A^{t+1}(\lambda_i) = \Phi\{A^t(x) | x \in W(\lambda_i)\}$$

رفتار اتماتای یادگیر را می‌توان چنین شرح داد: ابتدا هر اتماتای یادگیر در اتماتای سلولی رفتاری از مجموعه رفتارهای خود را انتخاب می‌کند. این رفتار می‌تواند براساس مشاهدات قبلی، یا به صورت تصادفی انتخاب شود. به رفتار انتخاب شده، با توجه به رفتارهای انتخاب شده توسط سلول‌های همسایه و قانون حاکم بر اتماتای یادگیر سلولی، پاداش یا جریمه تعلق می‌گیرد. با توجه به اینکه رفتار انتخاب شده پاداش بگیرد یا جریمه شود ساختار داخلی اتماتا آشکار می‌شود. عمل بدروز در آوردن تمام اتماتاهای در

رفتار انتخاب شده توسط این اتماتا یعنی رفتار  $\alpha_1$  پاداش خواهد گرفت و در غیر این صورت جریمه خواهد شد.

لازم به ذکر است که برای قوانین عمومی، ارزش «درست» برای

قانون به عنوان پاسخ مناسب محیط تعییر می‌شود.

**قانون All:** در این قانون زمانی به رفتار انتخاب شده توسط

اتماتا پاداش داده می‌شود که حداقل اتماتای مرکزی یا یکی از ۸ اتماتای همسایه‌اش رفتار  $\alpha_1$  را انتخاب کرده باشند. در غیر این صورت آن رفتار جریمه می‌شود. این قانون به صورت زیر بیان می‌شود:

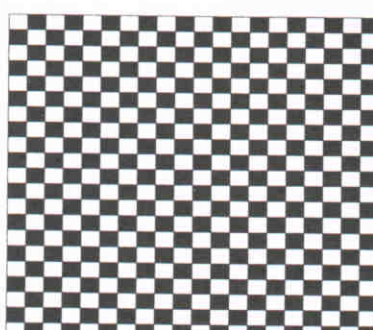
$$\text{OR } (A1, A2, A3, B1, B2, B3, C1, C2, C3)$$

به بیان دیگر براساس قانون فوق، اگر اتماتا در رفتار  $\alpha_1$  را انتخاب کند آن رفتار قطعاً پاداش خواهد گرفت. اگر یک اتماتا در رفتار  $\alpha_2$  را انتخاب کند و حداقل یکی از اتماتاهای همسایه این اتماتا رفتار  $\alpha_1$  را انتخاب کرده باشد، رفتار انتخاب شده توسط این اتماتا پاداش خواهد گرفت و در غیر این صورت جریمه می‌شود.

قانون صلبی: این قانون به صورت زیر بیان می‌شود:

$$\text{OR } (A1, A2, B2, C1, C3)$$

قانون همگن: هدف از طرح این قانون آن است که بینیم آیا اتماتاها توانایی آن را دارند که با شروع از یک الگوی بی‌نظم، الگویی مطابق شکل ۱۱ ایجاد کنند. بدین منظور الگوهایی که باید به آنها پاداش داده شوند مطابق شکل ۱۲ هستند.



شکل ۱۱. ساختار مطلوب نهایی قانون همگن.



شکل ۱۲. الگوهای مطلوب در ساختار نهایی قانون همگن.

سنجرش میزان کارایی و بررسی سیستم مورد استفاده قرار می‌گیرد.<sup>[۸]</sup> آنتروپی یک اتماتای یادگیر  $L4$  در  $CLA$  با مجموعه رفتار  $\{\alpha_1, \alpha_2, \dots, \alpha_T\}$ ، برابر است با:

$$E_{ij} = - \sum_{k=1}^r p(\alpha_k) \log(p(\alpha_k))$$

که در آن  $p(\alpha_k)$  احتمال آنtronپی‌های انتخاب رفتار  $(\alpha_k)$  توسط اتماتای یادگیری است. آنتروپی  $CLA$  مجموع آنتروپی‌های اتماتاهای یادگیر در  $CLA$  است که به صورت زیر تعریف می‌شود.

$$E = \sum_i \sum_j E_{ij}$$

### بررسی نتایج آزمایشات

در این قسمت رفتار اتماتای یادگیری سلولی برای اتماتها و قوانین مختلف مورد مطالعه قرار گرفته است. در ادامه به برخی از قوانین مورد استفاده در آزمایش‌ها اشاره می‌شود.

قانون عمومی: نحوه‌ی نامگذاری سلول‌ها در این قوانین براساس شکل ۱۰ است:

قوانين تعریف شده در زیر هر اتماتا در  $CLA$  دارای دو رفتار است. اگر اتماتا رفتار  $\alpha_1$  را انتخاب کند، سلول آن اتماتا به صورت پُر و در غیر این صورت، به شکل توحالی نشان داده خواهد شد.

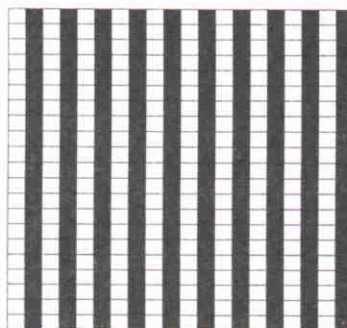
**قانون All:** در این قانون زمانی به رفتار انتخاب شده توسط اتماتا پاداش داده می‌شود که خود اتماتا و تمام ۸ همسایه‌اش رفتار  $\alpha_1$  را انتخاب کرده باشند؛ در غیر این صورت رفتار انتخاب شده توسط اتماتا جریمه می‌شود. این قانون به صورت زیر بیان می‌شود:

$$\text{AND } (A1, A2, A3, B1, B2, B3, C1, C2, C3)$$

با توجه به این‌که ارزش عبارت منطقی فوق ورودی اتماتا (پاسخ محیط) است، برای ارزیابی عبارت منطقی سلول پُر «درست» و سلول خالی «غلط» در نظر گرفته شده است. می‌توان قانون فوق را به گونه‌ی دیگر نیز بیان کرد. براساس قانون فوق اگر یک اتماتا در  $CLA$  رفتار  $\alpha_1$  را انتخاب کند، آن رفتار قطعاً جریمه خواهد شد و اگر یک اتماتا در  $CLA$  رفتار  $\alpha_2$  را انتخاب کند و همچنین تمام اتماتاهای همسایه‌ی این اتماتا رفتار  $\alpha_1$  را انتخاب کرده باشند

$A_1$	$A_2$	$A_3$
$B_1$	$B_2$	$B_3$
$C_1$	$C_2$	$C_3$

شکل ۱۰. نحوه‌ی نامگذاری سلول‌ها.



شکل ۱۵. ساختار مطلوب نهایی قانون خطوط عمودی.

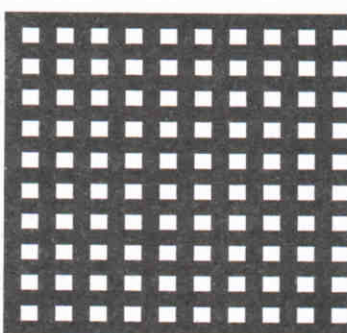


شکل ۱۶. الگوهای مطلوب در ساختار نهایی قانون خطوط عمودی.

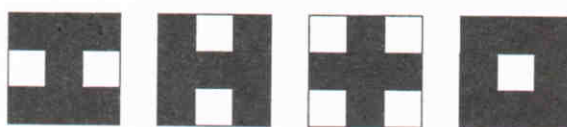
قانون خطوط عمودی به صورت زیر تعریف می‌شود:

$$\text{OR}((A\backslash, A\sharp, A\ddot{\wedge}, \text{NOT}(B\backslash), \text{NOT}(B\sharp), \text{NOT}(B\ddot{\wedge}), C\backslash, C\sharp, C\ddot{\wedge}, (\text{NOT}(A\backslash), \text{NOT}(A\sharp), \text{NOT}(A\ddot{\wedge}), B\backslash, B\sharp, \text{NOT}(C\backslash), \text{NOT}(C\sharp), \text{NOT}(C\ddot{\wedge})))$$

قانون شبکه‌ی چهارخانه: هدف ایجاد الگویی به شکل یک شبکه‌ی چهارخانه است (شکل ۱۷). الگوهای مطلوب برای تولید چنین الگویی در شکل ۱۸ نشان داده شده است.



شکل ۱۷. ساختار مطلوب نهایی قانون شبکه‌ی چهارخانه.



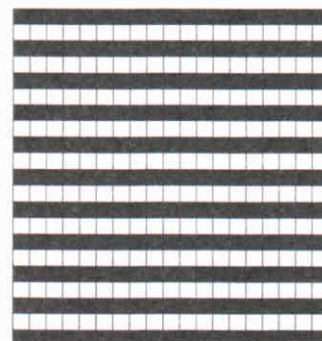
شکل ۱۸. الگوهای مطلوب در ساختار نهایی قانون شبکه‌ی چهارخانه.

این قانون به صورت زیر تعریف می‌شود:

$$\text{OR}((\text{NOT}(A\backslash), B\backslash, \text{NOT}(C\backslash), A\sharp, \text{NOT}(B\sharp), C\sharp, \text{NOT}(A\ddot{\wedge}), B\sharp, \text{NOT}(C\sharp)), (A\backslash, \text{NOT}(B\backslash), C\backslash, \text{NOT}(A\sharp), B\sharp, \text{NOT}(C\sharp), A\ddot{\wedge}, \text{NOT}(B\sharp), (C\sharp)))$$

قانون خطوط افقی: هدف از این قانون آن است که اوتوماتاها در طی زمان یاد بگیرند تا با شروع از یک الگوی بی‌نظم، الگویی مطابق شکل ۱۳ ایجاد کنند.

شکل ۱۴ الگوهای مطلوب برای تولید چنین الگویی را نشان می‌دهد.



شکل ۱۳. ساختار مطلوب نهایی قانون خطوط افقی.



شکل ۱۴. الگوهای مطلوب در ساختار نهایی قانون خطوط افقی.

قانون خطوط افقی به صورت زیر تعریف می‌شود:

$$\text{OR}((A\backslash, B\backslash, C\backslash, \text{NOT}(A\sharp), \text{NOT}(B\sharp), \text{NOT}(C\sharp), A\sharp, B\sharp, C\sharp), (\text{NOT}(A\backslash), \text{NOT}(B\backslash), \text{NOT}(C\backslash), A\sharp, C\sharp, \text{NOT}(A\ddot{\wedge}), \text{NOT}(B\ddot{\wedge}), \text{NOT}(C\ddot{\wedge})))$$

قانون خطوط عمودی: هدف از طرح این قانون ایجاد الگویی به شکل یک سری خطوط موازی و عمودی با فاصله‌ی واحد از یکدیگر مطابق شکل ۱۵ است.

الگوهای مطلوب برای تولید چنین الگویی در شکل ۱۶ نشان داده شده است.

قوانين فرآگیر: این دسته از قوانین همانند نوع مشابه خود در آنوماتای سلولی اند با این تفاوت که از نتیجه‌ی قانون برای دادن  $N \cdot M$  نشان پاداش یا جریمه استفاده می‌شود. این قانون به صورت  $N = \{N_1, N_2, \dots\}$  و  $M = \{M_1, M_2, \dots\}$  به صورت زیر تفسیر می‌شود:

اگر آنوماتای سلول مرکزی رفتار<sub>1</sub> را انتخاب کند و تعداد آنوماتاهای همسایه که رفتار<sub>1</sub> را انتخاب کرده‌اند متعلق به مجموعه‌ی  $M$  باشد، به آنوماتای مرکزی جریمه و در غیر این صورت پاداش تعلق خواهد گرفت. اگر آنوماتای سلول مرکزی رفتار<sub>2</sub> را انتخاب کند و تعداد آنوماتاهای همسایه که رفتار<sub>1</sub> را انتخاب کرده‌اند متعلق به مجموعه‌ی  $N$  باشد، به آنوماتای مرکزی جریمه و در غیر این صورت پاداش تعلق خواهد گرفت.

مثالاً در ادامه به چند قانون فرآگیر اشاره می‌شود:

قانون ۱۲۳۴۵۶۷-۸۹: این قانون رامی توان چنین بیان کرد: اگر آنوماتای مرکزی رفتار<sub>1</sub> را انتخاب کند و تعداد آنوماتاهای همسایه که رفتار<sub>1</sub> را انتخاب کرده‌اند بزرگ‌تر یا مساوی ۸، و متعلق به مجموعه‌ی  $M$  باشد، به آنوماتای مرکزی جریمه و در غیر این صورت پاداش تعلق خواهد گرفت. اگر آنوماتای سلول مرکزی رفتار<sub>2</sub> را انتخاب کند و تعداد آنوماتاهای همسایه که رفتار<sub>1</sub> را انتخاب کرده‌اند کوچک‌تر یا مساوی ۷ و متعلق به مجموعه‌ی  $N$  باشد، به آنوماتای مرکزی جریمه و در غیر این صورت پاداش تعلق خواهد گرفت.

قانون ۹-۱: این قانون رامی توان چنین بیان کرد: اگر آنوماتای مرکزی رفتار<sub>1</sub> را انتخاب کند و ۸ آنوماتای همسایه رفتار<sub>1</sub> را انتخاب کند، به آنوماتای مرکزی جریمه و در غیر این صورت پاداش داده خواهد شد. اگر آنوماتای مرکزی رفتار<sub>2</sub> را انتخاب کند پاداش خواهد شد. دریافت می‌کند (این بدین دلیل است که مجموعه‌ی  $N$  نهی است).

آزمایش‌های انجام شده در این نوشتار، طی شرایط زیر انجام شده است:

(الف) آنوماتای یادگیری با ساختار ثابت: پارامترهای مورد استفاده در آزمایش‌های انجام شده با آنوماتای یادگیری با ساختار ثابت به شرح زیر هستند:

۱. آنوماتای سلولی به کار گرفته شده دارای  $35 \times 35$  سلول است مگر در مواردی که باید تعداد سطرها و ستون‌های آنوماتای سلولی زوج باشد؛ مانند قانون اقلیت با آنوماتای کریلوف که بایستی آنوماتای سلولی با مرز تناوبی باشد که آنوماتای یادگیر سلولی با  $34 \times 34$  سلول در نظر گرفته شده است.

۲. در برخی از آزمایشات ساختار اولیه تنها شامل یک سلول پر در

لذا قانون شبکه‌ی چهارخانه به صورت زیر تعریف می‌شود:

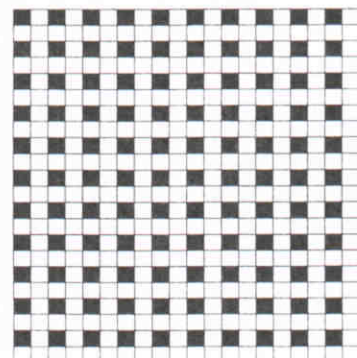
$\text{OR}(\text{AND}(\text{NOT}(A1), B1, \text{NOT}(C1), A2, B2, C2,$   
 $\text{NOT}(A3), B3, \text{NOT}(C3)),$   
 $\text{AND}(A1, \text{NOT}(B1), C1, A2, B2, C2, A3, \text{NOT}(B3),$   
 $C3),$   
 $\text{AND}(A1, B1, C1, A2, \text{NOT}(B2), C2, A3, B3, C3),$   
 $\text{AND}(A1, B1, C1, \text{NOT}(A2), B2, \text{NOT}(C2), A3, B3, C3))$

قانون جداکننده: هدف از این قانون ایجاد الگویی است که در آن هیچ دو آنوماتایی که رفتار<sub>1</sub> را انتخاب کرده باشند در کنار یکدیگر قرار نگیرند (شکل ۱۹).

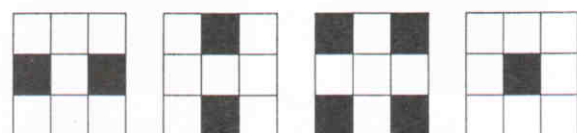
با توجه به این قانون الگوهای مطلوب در ساختار نهایی در شکل ۲۰ ارائه شده است.

لذا قانون جداکننده به صورت زیر تعریف می‌شود:

$\text{OR}((\text{NOT}(A1), \text{NOT}(B1), \text{NOT}(C1), \text{NOT}(A2), B2,$   
 $\text{NOT}(C2), \text{NOT}(A3), \text{NOT}(B3), \text{NOT}(C3)),$   
 $(A1, \text{NOT}(B1), C1, \text{NOT}(A2), \text{NOT}(B2), \text{NOT}(C2),$   
 $A3, \text{NOT}(B3), C3),$   
 $(\text{NOT}(A1), B1, \text{NOT}(C1), \text{NOT}(A2), \text{NOT}(B2), \text{NOT}(C2),$   
 $\text{NOT}(A3), B3, \text{NOT}(C3)),$   
 $(\text{NOT}(A1), \text{NOT}(B1), \text{NOT}(C1), A2, \text{NOT}(B2), C2,$   
 $\text{NOT}(A3), \text{NOT}(B3), \text{NOT}(C3)))$



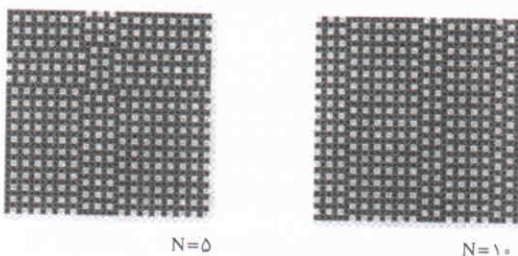
شکل ۱۹. ساختار مطلوب نهایی قانون جداکننده.



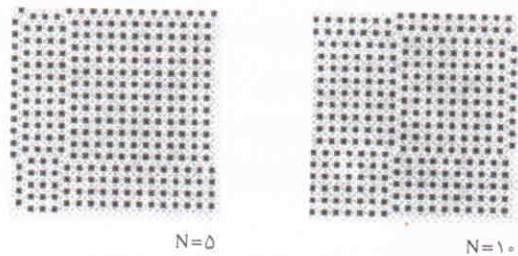
شکل ۲۰. الگوهای مطلوب در ساختار نهایی قانون جداکننده.

می شود. در حالت  $N=1$  نیز تا حدودی این الگو ایجاد می شود. این قانون در اتوماتای سلوالی الگوی مطلوب در قانون همگن را ایجاد می کند. شکل ۲۳ برخی از نتایج بدست آمده از این آزمایش ها را نشان می دهد.

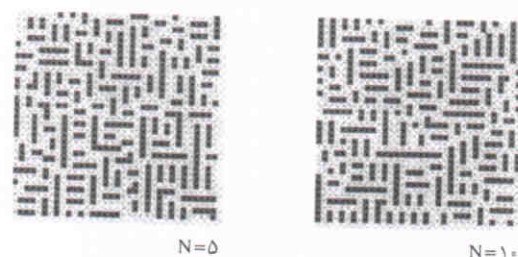
قانون اکثربت (۱۲۳۴-۵۶۷۸۹): در صورت استفاده از اتوماتاهای مختلف و با شروع از حالت اولیه تصادفی با چگالی  $=50\%$  الگوهایی به شکل جزیره ایجاد می شود به طوری که در آنها لبه های تیز وجود ندارد. در اتوماتاهای با ساختار متغیر با افزایش پارامتر  $a$  جزایر کوچک تر می شوند و تعدادشان افزایش می یابد. این قانون در نیز چنین الگویی را ایجاد می کند. شکل ۲۴ برخی از نتایج حاصل از آزمایشات با این قانون را نشان می دهد. از نتایج این



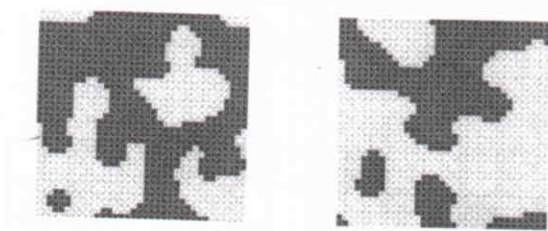
شکل ۲۱. نتایج حاصل از قانون ۱۲۳۴۵۶۷-۸۹ و اتوماتای کریلوف.



شکل ۲۲. نتایج حاصل از قانون ۱۲۳۴۵۶۷۸۹ و اتوماتای کریلوف.



شکل ۲۳. نتایج حاصل از قانون چلیپی و اتوماتای کریلوف.



شکل ۲۴. نتایج حاصل از قانون اکثربت.

مرکز اتوماتای یادگیر سلوالی است (سلول مرکزی رفتار،) را انتخاب و بقیه سلوال ها در  $CLA$  عمل  $\alpha_2$  را انتخاب کرده باشد. ۳. در برخی از آزمایشات با اتوماتای کریلوف ساختار اولیه با چگالی  $=50\%$  (همه سلوال ها سفید هستند) و در برخی ساختار اولیه با چگالی  $=50\%$  در نظر گرفته شده است.

۴. در صورت استفاده از اتوماتای کریلوف، آزمایش تا رسیدن به ساختار پایدار نهایی ادامه پیدا می کند. در سایر اتوماتاهای آزمایش تانسل ۲۰۰۰ ادامه پیدا می کند.

ب) اتوماتای یادگیر با ساختار متغیر: پارامترهای مورد استفاده در آزمایش ها با اتوماتای یادگیر با ساختار متغیر بدین شرح اند:  
۱. اتوماتای سلوالی به کار گرفته شده دارای  $35 \times 35$  سلوال است. مگر در مواردی که باید تعداد سطرها و ستون های اتوماتای سلوالی زوج باشد (مانند قانون جدا کننده که بایستی اتوماتای سلوالی با مرز تنایی باشد) اتوماتای یادگیر سلوالی با  $34 \times 34$  سلوال در نظر گرفته شده است.

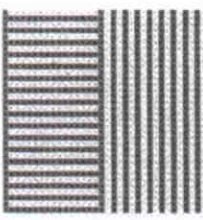
۲. احتمال اولیه انتخاب رفتارهای هر اتوماتا مساوی  $5\%$  در نظر گرفته شده است.

۳. آزمایش زمانی متوقف می شود که میانگین آنتروپی به حدود صفر رسیده باشد یا برای مدتی ثابت باقی مانده باشد.

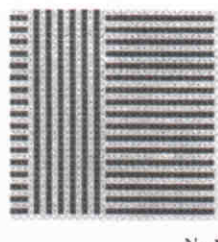
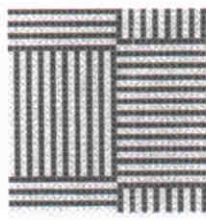
قانون ۱۲۳۴۵۶۷-۸۹: شکل زیر الگوی تولید شده توسط این قانون را نشان می دهد. در صورت استفاده از اتوماتای کریلوف و با شروع از حالت اولیه تصادفی با چگالی اولیه  $=50\%$  الگوهایی ایجاد می شود که در آنها اتوماتاهای انجام دهنده رفتار  $\alpha_2$  در کنار هم قرار ندارند. الگوهای حاصل شباهت بسیار زیادی به الگوی مطلوب در قانون شبکه ای چهارخانه دارند. در حالت  $N=1$  به الگوی مطلوب نهایی نمی رسیم و اتوماتاهای دائماً تغییر وضعیت می دهند (شکل ۲۱).

قانون ۱-۲۳۴۵۶۷۸۹: در صورت استفاده از اتوماتای کریلوف و با شروع از حالت اولیه تصادفی با چگالی اولیه  $=50\%$  الگوهایی ایجاد می شود که در آنها اتوماتاهای انجام دهنده رفتار  $\alpha_1$  در کنار هم قرار ندارند. الگوهای حاصل شباهت بسیار زیادی به الگوی مطلوب در قانون جدا کننده دارند. در حالت  $N=1$  اتوماتای یادگیر سلوالی همگرایی شود اتوماتاهای دائماً تغییر وضعیت می دهند. شکل ۲۲ برخی از نتایج بدست آمده از این آزمایش ها را نشان می دهد.

قانون چلیپی: در صورت استفاده از اتوماتای کریلوف و با شروع از حالت اولیه با چگالی اولیه  $=50\%$  الگوهایی مارپیچی ایجاد



شکل ۲۶. نتایج حاصل از قانون اقلیت پائین و اتماتای کریلوف.



شکل ۲۷. نتایج حاصل از قانون اقلیت بالا و اتماتای کریلوف.

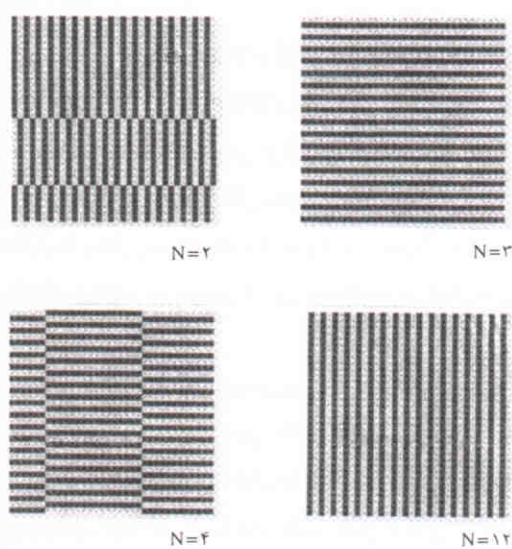
به طوری که در نقاط تلاقی خطوط با هم در تماس اند. برای حالات  $N=1$  الگوی خاصی ایجاد نمی شود. در صورت استفاده از اتماتای ساختارهایی مارپیچی  $L_{R\epsilon P}$  با پارامتر  $a=90^\circ$  و با ابعاد زوج، نیز به این

در صورت استفاده از اتماتای  $L_{RI}$  ساختارهایی مارپیچی تولید می شود ولی کانال های ایجاد شده اکثراً مسدود و کوتاه ترند. با افزایش پارامتر  $a$  طول کانال ها کوتاه تر می شود. در شکل ۲۶ برخی از نتایج حاصل از آزمایشات با قانون اقلیت پائین و اتماتای کریلوف آورده شده است.

قانون اقلیت بالا ( $123-456789^\circ$ ): در صورت استفاده از اتماتای کریلوف و با شروع از حالت اولیه تصادفی با چگالی اولیه  $=50^\circ$ ، الگوهایی به صورت دسته خطوط موازی (عمودی یا افقی) یا چند دسته خطوط موازی عمود بر هم ایجاد می کنند به طوری که در نقاط تلاقی، خطوط با هم در تماس نیستند. برای حالات  $N=1$  الگوی خاصی ایجاد نمی شود، فقط در حالت  $N=9$  در ساختار نهایی الگویی حاصل می شود که در آن اتماتاهای واقع در ناحیه مرزی به طور متناوب تغییر حالت می دهند. در صورت استفاده از اتماتای  $L_{R\epsilon P}$  با پارامتر  $a=90^\circ$  و با ابعاد زوج، نیز به این ساختارهایی مارپیچی دارند می رسیم. در صورت استفاده از اتماتای  $L_{RI}$  به ساختارهایی که شباهت کامل به مارپیچ دارند می رسیم که با افزایش پارامتر  $a$  کانال ها در مارپیچ کوتاه تر می شوند. شکل ۲۷ برخی نتایج حاصل از آزمایش ها با قانون اقلیت بالا و اتماتای کریلوف را نشان می دهد.

آزمایش در مدل سازی شایعه توسط  $CLA$  استفاده شده است.<sup>[5]</sup> قانون اقلیت ( $1234-56789^\circ$ ): در صورت استفاده از اتماتای کریلوف و با شروع از حالت اولیه تصادفی با چگالی اولیه  $=50^\circ$ ، الگوهایی به صورت دسته خطوط موازی (عمودی یا افقی) ایجاد می شود. الگوهای حاصل گاهی شبیه به الگوی مطلوب در قانون خطوط افقی، و گاهی شبیه به الگوی مطلوب در قانون خطوط عمودی اند. گاهی نیز شکستگی هایی به صورت جایه جایی قسمتی از دسته خطوط مشاهده می شود. چنانچه از اتماتای  $L_{R\epsilon P}$  با پارامتر  $a=90^\circ$  و محیط با ابعاد زوج استفاده کنیم نیز به این ساختارها می رسیم. در صورتی که از اتماتای  $L_{RI}$  استفاده کنیم، به ساختارهایی مارپیچی می رسیم که با افزایش پارامتر  $a$  شباهت الگوهای ایجاد شده به الگوی مورد نظر تا حدودی کمتر می شود. بدین صورت که طول کانال ها کوتاه تر می شود. این امر را می توان چنین توجیه کرد که زمانی که پارامتر  $a$  افزایش می یابد، سرعت همگرایی اتماتاهای بیشتر شده و لذا احتمال رفتارها سریع تر به مقدار ۱ نزدیک می شود. در نتیجه فرصت کمتری برای یافتن الگوی مطلوب وجود خواهد داشت.

در شکل ۲۵ برخی از نتایج حاصل از آزمایشات با قانون اقلیت و اتماتای کریلوف ارائه شده است. از نتایج این آزمایش برای کاربرد  $CLA$  در پردازش تصاویر استفاده شده است.<sup>[5]</sup> قانون اقلیت پائین ( $12345-6789^\circ$ ): در صورت استفاده از اتماتای کریلوف و با شروع از حالت اولیه تصادفی با چگالی  $=50^\circ$ ، الگوهایی به صورت دسته خطوط موازی (عمودی یا افقی)، یا دو یا چند دسته خطوط موازی و عمود بر هم ایجاد می کنند



شکل ۲۵. نتایج حاصل از قانون اقلیت و اتماتای کریلوف.

قانون بازی زندگی (۱۲۵۶۷۸۹ -۰ -۳): شکل زیر الگوی تولید شده توسط این قانون را نشان می‌دهد. در صورت استفاده از اتماتاتی  $L_{RI}$ , با افزایش پارامتر  $a$  جمعیت نهایی زیاد می‌شود. تعداد نسل‌های سپری شده در  $= ۰/۰۲$  تقریباً نصف شده و از آن پس به آرامی و با نوسان کاهش می‌یابد. در صورت استفاده از اتماتاتی  $L_{R\epsilon P}$  با پارامتر  $a = ۰/۰۸$  به الگویی می‌رسیم که ابتدا رشد می‌کنند و سپس دائماً در حال تغییرند. قبلًا عنوان شد که چنانچه از اتماتاتی با ساختار ثابت (به غیر از اتماتاتی کریلوف) و با عمق حافظه  $N = ۱$  استفاده کنیم، اتماتاتی یادگیر سلولی، رفتارهای اتماتاتی سلولی را از خود نشان می‌دهند. بنابراین، می‌توان گفت که اتماتاتی یادگیر سلولی دارای ویژگی جهان محاسباتی هستند.<sup>[۲۱]</sup> (شکل ۲۱)

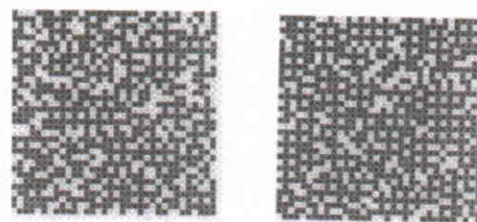
قانون All And: در صورت استفاده از اتماتاتاهای  $L_{RI}$  و  $L_{R\epsilon P}$ , در تمام موارد، محیط به حالتی یکنواخت می‌رسد به طوری که تمام اتماتاتاهای رفتار  $a_1$  را انجام می‌دهند. با افزایش پارامتر  $a$ , نمودار جمعیت خطی موازی محور عمق حافظه می‌شود. تعداد نسل‌های سپری شده تا رسیدن به ساختار نهایی نیز به صورت نمایی کاهش می‌یابد که علت آن سرعت بیشتر همگرایی اتماتاتاهای  $L_{RI}$  و  $L_{R\epsilon P}$  به دلیل افزایش پارامتر  $a$  است.

قانون Or All: در صورت استفاده از اتماتاتاهای  $L_{RI}$  و  $L_{R\epsilon P}$ , در تمام موارد، محیط به حالتی یکنواخت می‌رسد به طوری که برای هر سلول حداقل در یکی از همسایگانش یک اتماتا وجود دارد که رفتار  $a_1$  را انجام دهد. با افزایش پارامتر  $a$  تعداد نسل‌های سپری شده تا رسیدن به ساختار نهایی به صورت نمایی کاهش می‌یابد که علت آن سرعت تر شدن همگرایی اتماتاتاهای  $L_{RI}$  و  $L_{R\epsilon P}$  بر اثر افزایش پارامتر  $a$  است.

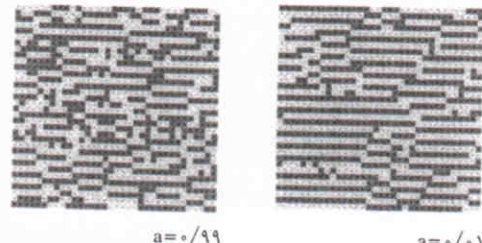
قوانين  $-۰۳۵۷۸۹, ۰۴۴۶۸-۰۱۳۵۷۹, ۰۲۴۶۸-۰۱۳۵۷۹$  و  $۰۱۲۴۶۹, ۰۴۸۹-۰۲۶۹$ : این قوانین به همراه اتماتاتاهای با ساختار ثابت (به غیر از کریلوف) در صورت شروع با یک سلول پر در مرکز  $CLA$  (اگر سلول مرکزی  $CLA$  رفتار  $a_1$  و بقیه سلول‌ها رفتار  $a_2$  را انتخاب کرده باشند) معمولاً ساختارهای زیبایی ایجاد می‌کنند. نمونه‌هایی از این ساختارها در شکل‌های ۲۲ و ۲۳ آمده است.<sup>[۲۲]</sup>

با توجه به نتایج بدست آمده در مورد قوانین عمومی می‌توان گفت که اتماتاتی  $L_{R\epsilon P}$  با پارامتر  $a = ۰/۹۰$  مستقل از ساختار اولیه‌اش، توانایی رسیدن به ساختار موردنظر را دارد. اتماتاتی  $L_{RP}$  و همچنین اتماتاتی با ساختار ثابت چنین توانایی را ندارند. اتماتاتی  $L_{RI}$  تنها در دو مورد یعنی قوانین Or All و And All، چنین

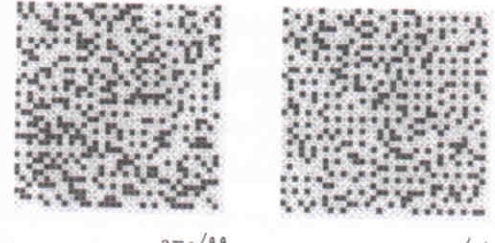
قانون همگن، جداکننده، شبکه‌ی چهارخانه، خطوط افقی و خطوط عمودی: شکل‌های ۲۸ تا ۳۰ الگوهای تولید شده توسط این قانون‌ها را نشان می‌دهد. در صورت استفاده از اتماتاتی  $L_{RI}$  به ساختارهای موردنظر نزدیک می‌شویم. با افزایش پارامتر  $a$  یا کم شدن عمق حافظه در اتماتاتاهای با ساختار ثابت (شباهت ساختارهای ایجاد شده با ساختار موردنظر کمتر می‌شود یعنی خطوطی با طول کوتاه‌تر ایجاد می‌شود. این امر را می‌توان چنین توجیه کرد که با افزایش پارامتر  $a$  سرعت همگرایی اتماتاتاهای بیشتر می‌شود و در نتیجه فرستت کمتری برای یافتن الگوی مطلوب وجود خواهد داشت. چنانچه از اتماتاتی  $L_{R\epsilon P}$  با پارامتر  $a = ۰/۹۰$  و محیط با ابعاد زوج استفاده کنیم، دقیقاً به ساختارهای موردنظر می‌رسیم.



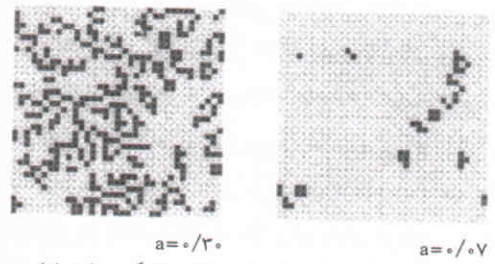
شکل ۲۸. نتایج حاصل از قانون شبکه‌ی چهارخانه و اتماتاتی  $L_{RI}$



شکل ۲۹. نتایج حاصل از قانون خطوط افقی و اتماتاتی  $L_{RI}$



شکل ۳۰. نتایج حاصل از قانون جداکننده و اتماتاتی  $L_{RI}$



شکل ۳۱. نتایج حاصل از قانون بازی زندگی و اتماتاتی  $L_{RI}$

توانایی را دارد. در اتوماتای  $L_{RI}$  هرچه مقدار پارامتر  $a$  کوچک‌تر باشد، ساختارهای بدست آمده به ساختار مطلوب شباهت بیشتری پیدا می‌کند ولی تعداد نسل‌های سپری شده برای رسیدن به ساختار نهایی بیشتر می‌شود. در مرز دو ناحیه که با هم تطابق ندارند، همیشه تغییر در وضعیت اتوماتاها مشاهده می‌شود بدون آنکه هیچ یک از گروه‌ها عقب نشینی کنند.

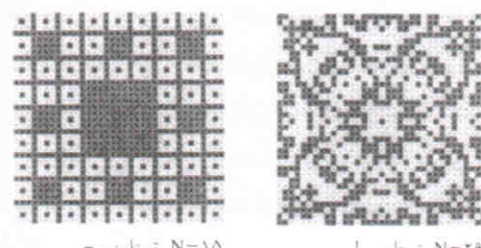
در مورد قوانین فراگیر، چنانچه از اتوماتای با ساختار ثابت (به غیر از اتوماتای کریلوف) استفاده کنیم، به ساختارهای متقارن و زیبایی می‌رسیم. در دیگر قوانین، نظری انواع قوانین اقلیت چنانچه از اتوماتای کریلوف استفاده کنیم، به بعضی از ساختارهای مطلوب در قوانین عمومی می‌رسیم.

چون در صورت استفاده از اتوماتاها برای ساختار ثابت (به غیر از اتوماتای کریلوف) و با عمق حافظه مساوی ۱، اتوماتای یادگیر سلولی رفتار اتوماتای سلولی را از خود نشان می‌دهد و نیز چون در اتوماتای تستلین  $-G$  افزایش عمق حافظه اثر تأخیر را دارد می‌توان نتیجه گرفت که اتوماتای یادگیر ندهی سلولی در برگیرنده اتوماتای سلولی است و نتیجتاً دارای ویژگی جهان محاسباتی است.

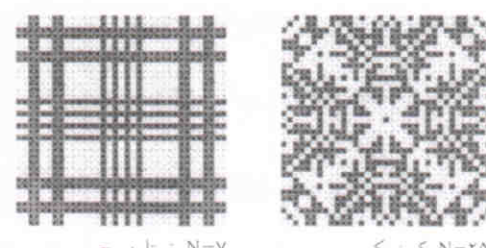
**کاربرد  $Cla$  در مدل‌سازی انتشار شایعه**  
پدیده‌ی انتشار در سیستم‌های اجتماعی نظیر انتشار شایعه، اخبار و یا ابداعات در سده‌ی گذشته توسط دانشمندان علوم اجتماعی، جغرافی دانان، اقتصاددانان و نیز مدیران مورد بررسی قرار گرفته است. ما در اینجا از اصطلاح عمومی انتشار شایعه برای کلیه موارد فوق استفاده می‌کنیم.

انتشار شایعه معمولاً به عنوان فرایندی تعریف می‌شود که در آن شایعه از طریق کانال‌هایی در طی زمان بین اعضای یک سیستم اجتماعی مبادله می‌شود. در بسیاری از موارد این کانال ارتباطی برد کسی دارد. به عنوان مثال، ما در تصمیم‌گیری بیشتر تحت تأثیر دوستان، فamilی و همکاران قرار می‌گیریم و از افراد غریب‌هی بی که در شهرهای دور دست زندگی می‌کنند، کمتر اثر می‌پذیریم.

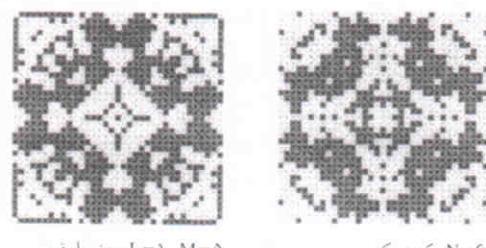
این ویژگی محلی بودن تأثیر متقابل، اتوماتای سلولی، اتوماتای سلولی احتمالی و نیز اتوماتای یادگیر سلولی را به عنوان مدل‌های مناسبی مطرح می‌سازد. در ساده‌ترین شکل، هر سلول با یک عضو جامعه اشغال شده است. اعضای جامعه یکی از دو حالت ممکن، یعنی موافق و یا مخالف، را می‌توانند اختیار کنند. حالت موافق را با ۱ و حالت مخالف را با ۰ نمایش می‌دهیم. در ادامه مدل‌های پیشنهادی توسط بوکارا برای مدل‌سازی انتشار شایعه با استفاده از اتوماتای سلولی و اتوماتای سلولی احتمالی را بررسی می‌کنیم<sup>[۱۷]</sup> و سپس



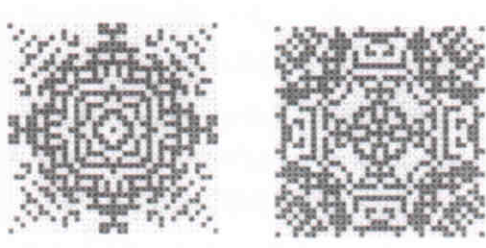
شکل ۲۲. نتایج حاصل از قانون ۲۴۶۸-۰۰۲۴۶۸



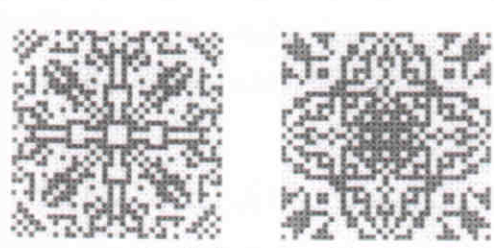
شکل ۲۳. نتایج حاصل از قانون ۱۳۵۷۹-۰۰۲۴۶۸



شکل ۲۴. نتایج حاصل از قانون ۱۲۴۶۹-۰۰۳۵۷۸۹



شکل ۲۵. نتایج حاصل از قانون ۲۶۹-۰۰۴۸۹



شکل ۲۶. نتایج حاصل از قانون ۱۳۵۷۹-۰۰۱۳۵۷۹

طبق این مدل پدیده‌ی انتشار شایعه چنین تعریف می‌شود. یک فرد مخالف که در زمان  $t$  در سلوی  $\theta$  قرار دارد با احتمالی که وابسته به  $(i, t)$  است، در زمان  $t+1$  موافق می‌شود. در این مدل، مانند مدل قبلی، زمانی که یک فرد موافق شایعه شود برای همیشه موافق باقی خواهد ماند. این مدل را می‌توان یک اتوماتای سلوی احتمالی با توزیع احتمال زیر در نظر گرفت:

$$p(s(i, t+1) = \theta) = (1 - s(i, t)) (1 - \delta(i, t))$$

$$p(s(i, t+1) = a) = 1 - (1 - s(i, t)) (1 - \delta(i, t))$$

احتمال انتقال وضعیت  $a$  به  $b$  ( $P_{b \leftarrow a}$ ) به صورت زیر تعریف می‌شود:

$$P_{b \leftarrow a} = P(s(i, t+1) = b | s(i, t) = a)$$

و بیانگر احتمال تغییر وضعیت یک سلوی از  $a$  به  $b$  در یک مرحله‌ی زمانی است. در این مدل، ماتریس احتمال به صورت زیر است:

$$P = \begin{bmatrix} P_{\theta \leftarrow \theta} & P_{\theta \leftarrow a} \\ P_{a \leftarrow \theta} & P_{a \leftarrow a} \end{bmatrix} = \begin{bmatrix} 1 - \delta(i, t) & \theta \\ \delta(i, t) & 1 \end{bmatrix}$$

به عنوان اولین تقریب،  $(i, t)$  را چنین تعریف می‌کنیم:

$$\delta(i, t) =$$

$$\frac{1}{2R} \left[ \sum_{n=-R}^{-1} s(i+n, t) + \sum_{n=1}^R s(i+n, t) \right]$$

در این صورت  $(i, t)$  چگالی محلی<sup>۱۱</sup> موافق‌ها در زمان  $t$  روی  $2R$  همسایه‌ی نزدیک سلوی  $\theta$  است. انتخاب  $(i, t)$  اگر چه تا حدودی ساده است، برخی از ویژگی‌های سیستم‌های اجتماعی واقعی را در بر می‌گیرد. تعداد همسایه‌های تحت تأثیر قرار گرفته محدود نند این همسایه‌ها همه در شاعع مشخص  $R$  قرار دارند. همچنین عقیده‌ی همسایه‌ها را با وزن یکسان در نظر گرفته‌ایم که ممکن است واقعی نباشد. اما به عنوان یک تقریب اولیه می‌تواند خوب باشد. حال  $(t)$  را به عنوان چگالی عمومی<sup>۱۲</sup> موافق‌ها در زمان  $t$  و  $(t)$  را به عنوان  $\theta(t)$  در نظر می‌گیریم. از آنجاکه  $P_{\theta \leftarrow a} = 1 - \rho(t)$  تعداد موافق‌ها در طی زمان یاد شده به طوری که:

$$\lim_{t \rightarrow \infty} \rho(t) = 1$$

اگر با چگالی اولیه کوچک  $\rho$  از افراد موافق که به طور تصادفی پراکنده‌اند، آغاز کنیم،  $(t)$  از خصوصیات منحنی  $S$  شکل تبعیت خواهد کرد. شبیه منحنی با افزایش  $R$  تندتر شده و چنانچه  $R$  به

به تشریح کاربرد اتوماتای یادگیرنده سلوی در مدل‌سازی انتشار شایعه می‌پردازیم.

برای بررسی انتشار شایعه توسط اتوماتای سلوی، ابتدا از یک اتوماتای سلوی یک بعدی با شاعع  $\theta$  استفاده می‌کنیم. فرض می‌کنیم که هر گاه یک عضو موافق شد، موافق باقی می‌ماند. می‌خواهیم چگالی موافق‌ها یعنی  $(1 - \rho)$  را در زمان  $t$  محاسبه کنیم، با این فرض که از یک ساختار اولیه نامنظم با چگالی  $\rho_0$  شروع کرده باشیم. برای این منظور، فرض می‌کنیم که یک فرد در جامعه موافق می‌شود اگر حداقل یک همسایه موافق داشته باشد.

ساختار اولیه را به صورت دسته‌هایی از  $\theta$  که به مسیله‌ی دسته‌هایی از  $\theta$  جدا شده‌اند، در نظر می‌گیریم. تنها سلوی‌های مخالف  $\theta$  نزدیک به دسته‌هایی از  $\theta$  هستند تغییر می‌کنند. در صورتی که سایر سلوی‌های مخالف، مخالف می‌مانند. بنابراین، طول  $\theta$  از هر دسته از صفرها در هر مرحله دو واحد کاهش می‌یابد. یعنی:

$$M(l, t+1) = M(l+2, t)$$

در این فرمول  $M(l, t)$  بیان‌گر تعداد دسته‌های صفر با طول  $\theta$  در زمان  $t$  است. پس خواهیم داشت:

$$M(1, 0) = (1 - \rho_0)^1 \rho_0^2$$

$$M(1, t) = (1 - \rho_0)^{1+2t} \rho_0^3$$

چگالی صفرها در زمان  $t$  را که با  $(t)$  نشان می‌دهیم، از فرمول زیر به دست می‌آید:

$$\theta(t) = \sum_{l=1}^{\infty} l M(l, t) = (1 - \rho_0)^{2t+1}$$

نهایتاً چگالی یک‌ها از رابطه‌ی زیر حاصل می‌شود:

$$\rho(t) = 1 - \theta(t) = 1 - (1 - \rho_0)^{2t+1}$$

همان‌طور که ملاحظه می‌شود، چگالی یک‌ها به صورت نمایی به عدد  $(\infty)$  نزدیک می‌شود. اما در یک سیستم اجتماعی واقعی چنین نیست و از یک منحنی  $S$  مانند یا منطق نمادی تبعیت می‌کند.<sup>۱۳</sup>

برای عمومی تر کردن مدل ساده‌ی فوق، از اتوماتای سلوی احتمالی استفاده می‌کنیم با این شرط که حالت سلوی  $\theta$  در زمانی  $t$  یعنی  $(i, t)$ ، به حالت سلوی  $\theta$  در زمان  $t+1$  یعنی  $(i+1, t+1)$  و نیز به

مقدار  $(i, t)$  که در زیر تعریف شده است بستگی دارد.

$$\delta(i, t) = \sum_{n=-\infty}^{\infty} s(i+n, t) p(n)$$

اتوماتاهای یادگیر ذکر شده در این نوشتار نمی‌شود. با توجه به شرایط حاکم در جامعه اتوماتاتی یادگیر و قانون محلی خاص آن شرایط می‌تواند طراحی شود.

افراد نوع تستلین - L: در صورتی که افراد اجتماع از این نوع باشند، مطابق نمودار این اتوماتات، با هر بار شنیدن شایعه بیشتر به آن اعتقاد پیدا کرده تا این که نهایتاً آن را کاملاً قبول می‌کنند. همچنین با هر بار شنیدن خبر تقصی شایعه، به آن کمتر اعتقاد پیدا می‌کنند تا اینکه نهایتاً کاملاً با آن مخالف می‌شوند.

افراد نوع تستلین - J: این نوع افراد مطابق نمودار، تا حدودی مانند افراد نوع تستلین - L عمل می‌کنند با این تفاوت که هنگامی که به مرز درست یا نادرست بودن شایعه می‌رسند، با یکبار شنیدن نظر مخالف خود، به یکباره کاملاً به نظر مخالف اعتقاد پیدا می‌کنند. به عبارت دیگر، این‌گونه افراد هنگامی که می‌خواهند از نظر خود برگردند بسیار خوش‌بینانه عمل می‌کنند. در اینجا نیز عمق حافظه با اثر پذیری افراد رابطه‌ی عکس دارد.

افراد نوع کرینسکی: این‌گونه افراد همیشه در انتظار شنیدن خبر موافق با عقیده‌ی خود هستند و با شنیدن اولین خبر موافق عقیده‌ی خود، هرگونه شک و شبه‌یی را در خود از بین می‌برند. در مقابل، با شنیدن خبر مخالف با عقیده‌ی خود کم‌کم از عقیده‌ی خود دور می‌شوند. چنین افرادی باید دقیقاً  $N$  بار متواتی عقیده‌ی مخالف را بشنوند تا آن را قبول کنند. هرچه عمق حافظه بیشتر باشد، این افراد دیرتر از عقیده‌ی خود بر می‌گردند.

افراد نوع کریلوف: این‌گونه افراد مانند افراد نوع تستلین - L، با شنیدن شایعه‌ی که به آن اعتقاد دارند، اعتقادشان بیشتر می‌شود. اما هر بار که خبر مخالف را می‌شنوند، کاملاً آن را باور ندارند و با احتمال ۵/۰ آن را قبول یا رد می‌کنند. به عبارت دیگر، این‌گونه افراد نسبت به خبر مخالف عقیده‌ی خود با تردید بیشتری عمل می‌کنند و به راحتی آن را نمی‌پذیرند. در اینجا نیز عمق حافظه با اثر پذیری افراد رابطه عکس دارد.

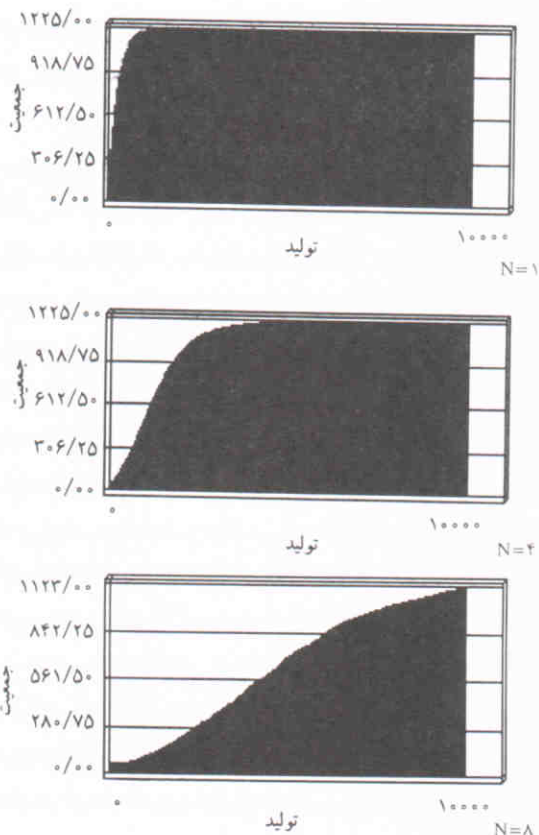
افراد نوع پوتومارف: این‌گونه افراد مطابق نمودار، از راهکار زیر برای پذیرش یا رد شایعه استفاده می‌کنند. زمانی که عقیده‌ی خود را تأییدشده می‌بینند، عقیده‌ی مخالف را هم تجربه می‌کنند (با این انتظار که قاعده‌ای باید در جامعه رد شود). در صورت رد شدن یا تأیید عقیده‌ی مخالف دوباره به عقیده‌ی قبلی خود بازمی‌گرددن با این تفاوت که میزان اعتقاد در حالت اول بیشتر می‌شود. پس از گذشتن چند مرحله، زمانی که احساس کردن که عقیده‌ی مخالف غلط است، به عقیده‌ی خود کاملاً یقین پیدا می‌کنند و چون این اعتقاد را قبل ارزیابی کرده‌اند، حتی پس از چندین بار رد شدن آن نیز از عقیده‌ی خود بر نمی‌گرددن.

اندازه‌ی کافی بزرگ باشد، پس از گذشت فقط چند مرحله، چگالی بسیار زیاد (حدود ۹۹٪) می‌شود.

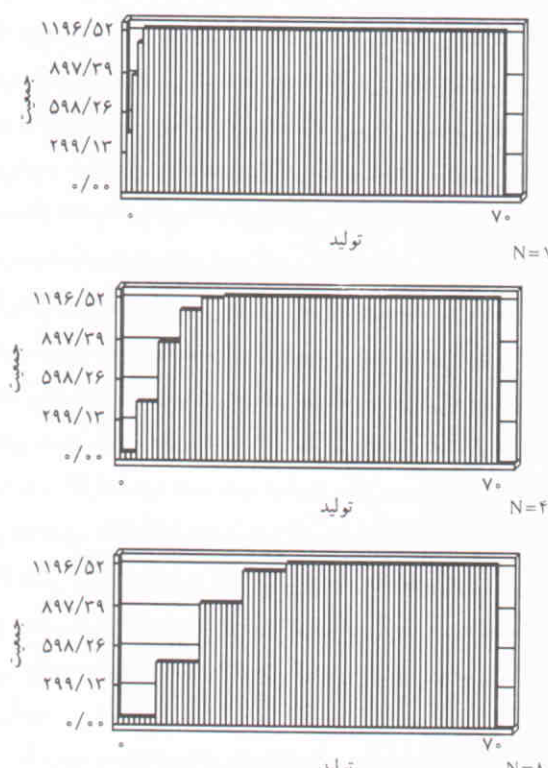
عمومی ترکدن مدل: یکی از فرض‌ها در دو مدل قبلی این است که هنگامی که فردی شایعه‌یی را قبول کرد، عقیده‌اش را هرگز عوض نمی‌کند. این فرض در واقعیت صادق نیست. در عمل، هر فناوری یا محصولی یک دوره عمر کوتاه دارد. برای برخی محصولات، مانند تلویزیون، این دوره نسبتاً طولانی است حال آنکه برای برخی دیگر، مانند نرم‌افزار، بسیار کوتاه‌تر است. یک روش برای منظور کردن این پدیده در مدل‌سازی آن است که فرض کنیم که در هر مرحله‌ی زمانی، هر فرد موافق می‌تواند با یک احتمال  $P$  با شایعه مخالف شود. حتی مدل می‌تواند به واقعیت نزدیک‌تر شود اگر ما فرض کنیم که احتمال موافق شدن افراد مختلف با هم مساوی نیستند بلکه بستگی به چگالی محلی موافقین دارد.<sup>[۱۷]</sup> دو مدل فوق نیز کاملاً با واقعیت مطابقت ندارد. تغییر حالت ناگهانی نمی‌تواند به خوبی رفتار افراد جامعه را شبیه‌سازی کند. افراد در پذیرفتن یک شایعه یا در رد آن معمولاً به صورت ناگهانی عمل نمی‌کنند بلکه هر بار که یک شایعه را می‌شنوند، آن شایعه برای آنها بیشتر عینیت پیدا می‌کند و هر بار که آن شایعه عقیده‌ی خود بر می‌گردد، صحت آن برای آنها کمتر می‌شود.

اینجاست که ایده‌ی استفاده از اتوماتاتی یادگیر سلولی به ذهن می‌رسد. هر فرد جامعه در طی زمان بر اساس نظرات موافق و مخالف که می‌شنود، ذهنیتی نسبت به شایعه پیدا می‌کند. این اعتقاد به صورت در صد در نظر گرفته می‌شود. هرچه اعتقاد فرد بیشتر باشد، این در صد بزرگ‌تر، و هرچه اعتقاد او کمتر باشد این در صد نیز کوچک‌تر می‌شود. عمق در اتوماتاتاهای یادگیر با ساختار ثابت و یا بردار احتمال اقدام‌ها در اتوماتاتاهای یادگیر با ساختار متغیر می‌تواند این در صد (ذهنیت) را پیاده‌سازی کند. می‌توان یک پارامتر به نام پارامتر اثر پذیری برای هر فرد تعريف کرد که رابطه‌ی معکوس با عمق حافظه دارد. هرچه عمق حافظه را کم‌تر کنیم، اثر پذیری افراد بیشتر شده و زودتر تحت تأثیر جامعه‌ی اطراف خود قرار می‌گیرند؛ به طوری که وقتی عمق حافظه را مساوی ۱ در نظر می‌گیریم، افراد کاملاً مطیع جامعه‌ی اطراف خود شده یا به عبارت دیگر دمدمی مزاج می‌شوند. هرچه عمق حافظه (یا پارامتر  $a$  یا  $b$  در اتوماتاتاهای با ساختار متغیر) را زیادتر کنیم، اثر پذیری افراد کمتر شده و محافظه کارتر می‌شوند و در تصمیم‌گیری دقت بیشتری می‌کنند. این‌گونه افراد هنگامی که می‌خواهند عقیده‌ی خود را عوض کنند، بسیار با احتیاط عمل می‌کنند.

با توجه به نوع اتوماتاتی استفاده شده در مدل، می‌توان افراد اجتماع را به شکل زیر طبقه‌بندی کرد. نوع افراد جامعه محدود به



شکل ۳۷. نمودارهای چگالی موافقها با استفاده از افراد نوع کریلوف.



شکل ۳۸. نمودارهای چگالی موافقها با استفاده از افراد نوع کرینسکی.

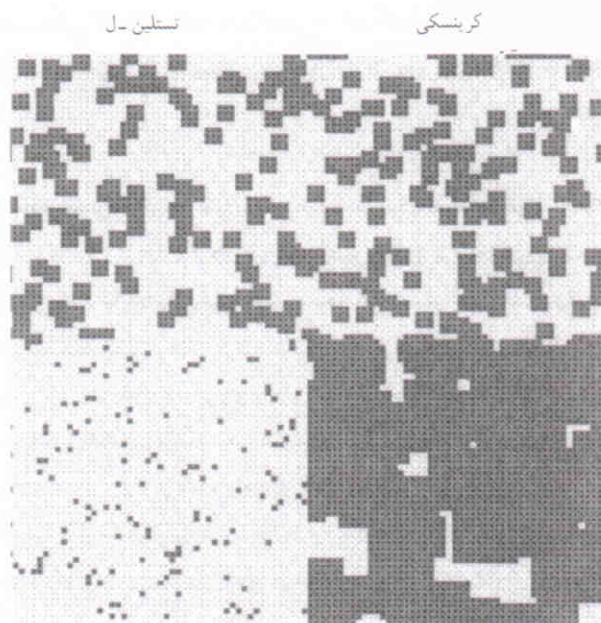
افراد نوع  $L_{RP}$ : این گونه افراد معمولاً ابتدانسبت به یک شایعه نظر بیتفاوت دارند. با هر بار شنیدن شایعه اعتقادشان نسبت به آن بیشتر شده و بر عکس با هر بار شنیدن خبر نقض شایعه، اعتقادشان نسبت به آن کمتر می‌شود. چنین افرادی تازمانی که به شایعه اعتقاد کامل پیدا نکرده‌اند یا کاملاً با آن مخالف نشده‌اند، گاهی اوقات در جامعه با آن موافق و گاهی اوقات نیز مخالفت می‌کنند. البته میزان موافق و یا مخالفت بستگی به میزان اعتقادشان دارد. هرچه میزان اعتقادشان بیشتر باشد، بیشتر موقع با آن موافق می‌کنند و بر عکس.

افراد نوع  $L_{RI}$ : این گونه افراد نسبت به نظر مخالف بی اعتمت هستند و عقیده‌ی مخالف تأثیری بر عقیده‌ی آنها ندارد. مانند نوع  $L_{RP}$ ، این اشخاص نیز با شنیدن شایعه اعتقادشان نسبت به آن بیشتر می‌شود و تا زمانی که به شایعه اعتقاد کامل پیدا نکرده‌اند یا کاملاً با آن مخالف نشده‌اند، بسته به اعتقادشان گاهی اوقات در جامعه با آن موافق و گاهی اوقات نیز مخالفت می‌کنند.

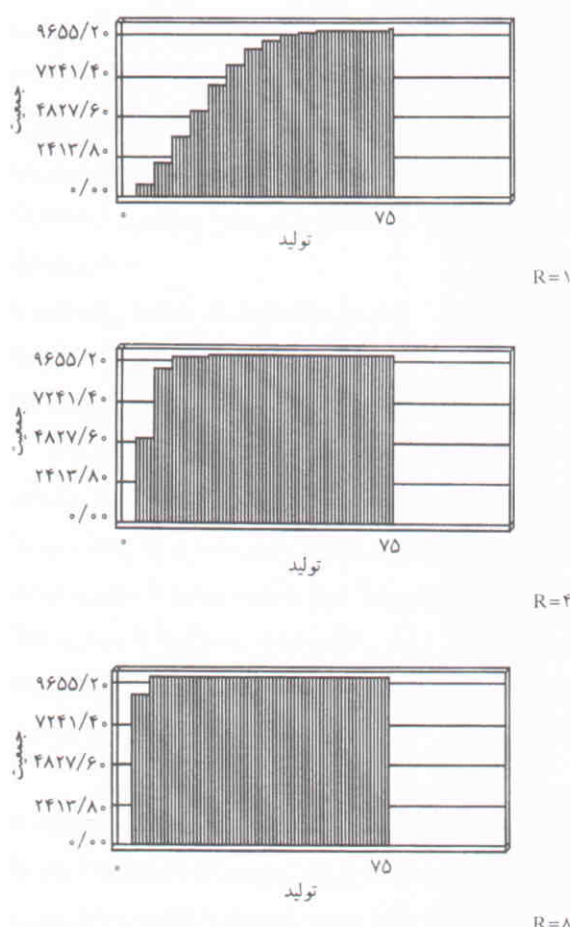
افراد نوع  $L_{REP}$ : این گونه افراد نظر موافق را خیلی بهتر از نظر مخالف قبول می‌کنند. بدطوری که نظر مخالف نسبت به نظر موافق تأثیر بسیار کمتری بر عقیده‌ی آنها دارد. مانند افراد نوع  $L_{RP}$  این اشخاص نیز با شنیدن شایعه اعتقادشان نسبت به آن بیشتر می‌شود و تا زمانی که به شایعه اعتقاد کامل پیدا نکرده‌اند یا کاملاً با آن مخالف نشده‌اند، بسته به اعتقادشان گاهی اوقات در جامعه با آن موافق و گاهی اوقات نیز مخالفت می‌کنند.

موارد ذکر شده‌ی فوق صرفاً مثال‌هایی هستند از برخی افراد جامعه که با کمک اتماتاهای یادگیر گزارش شده شبیه‌سازی شده‌اند. می‌توان با در نظر گرفتن روان‌شناسی افراد، اتماتاهای یادگیر و قوانین محلی جدیدی تعریف کرده و از آنها در شبیه‌سازی استفاده کرد.

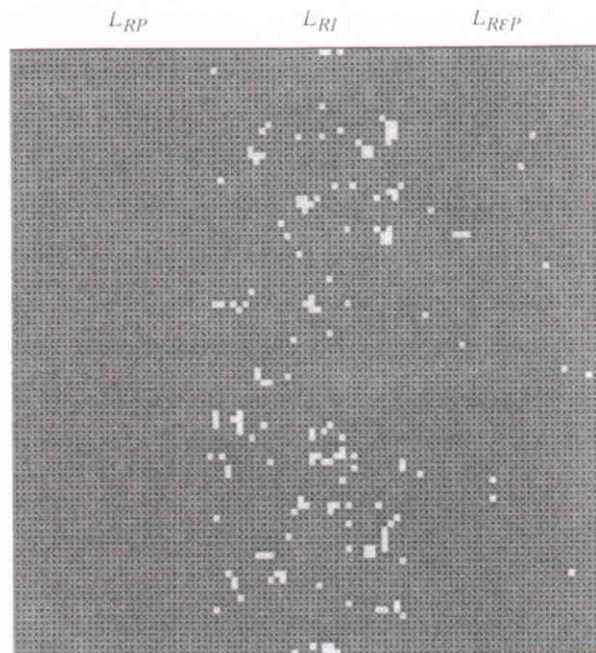
برای شبیه‌سازی‌ها از قانون محلی Or All شده است، استفاده می‌کنیم. در این حالت، هر فرد در جامعه زمانی که شایعه را از حداقل یکی از افراد واقع در همسایگی خود بشنود، با توجه به پارامتر اثرپذیری خود اعتقادش به آن بیشتر و در غیر این صورت کمتر می‌شود. نمودار تعداد افراد موافق  $S$  شکل خواهد بود، و هرچه پارامتر اثرپذیری (عکس عمق حافظه) افراد بیشتر باشد، شبیه منحنی افراد موافق بیشتر شده است. در این آزمایش‌ها چگالی اولیه  $a=p=0.05$  در نظر گرفته شده است. در اتماتاهای با ساختار ثابت عمق حافظه  $b=0.5$  و در اتماتاهای با ساختار متغیر این عمق  $a=p=0.05$  در نظر گرفته شده است. شکل های ۳۷ و ۳۸ نمودارهای چگالی افراد موافق را برای جمعیت‌هایی متشکل از افراد کریلوف و کرینسکی نشان می‌دهند.



شکل ۴۰. پخش شایعه بین افراد نوع تستین - ل، کرینسکی، کریلوف، پونومارف.



شکل ۴۱. نمودارهای چگالی موافقها با تغییر شعاع همسایگی.



شکل ۳۹. پخش شایعه بین افراد نوع  $L_{RP}$ ,  $L_{RI}$  و  $L_{REP}$ .

پخش شایعه در بین جمعیت‌های مختلف

افراد نوع  $L_{REP}$  و  $L_{RI}$ : در بین این سه گروه، پخش شایعه در  $L_{RP}$  از همه سریع‌تر است. پس از آنها افراد نوع  $L_{REP}$  قرار دارند. افراد نوع  $L_{RI}$  نیز با احتیاط بیشتری نسبت به دو گروه قبل عمل می‌کنند. علت این امر نیز خصوصیت ذکر شده‌ی این گونه افراد است که به عقیده‌ی مخالف خود اعتنایی نمی‌کنند. شکل ۳۹ پخش یک شایعه طبق قانون Or All را بین جمعیتی شامل این سه گروه نشان می‌دهد. پارامتر اثرپذیری در بین افراد یکسان در نظر گرفته شده است ( $a = 50\%$ ).

افراد نوع تستین - ل، کرینسکی، کریلوف و پونومارف: پخش شایعه در بین افراد نوع تستین - ل، تستین - ج و کرینسکی در صورت مساوی بودن پارامتر اثرپذیری آنها یکسان است. در صورت مساوی بودن پارامتر اثرپذیری، افراد نوع پونومارف از همه زودتر و افراد نوع کریلوف از همه دیرتر شایعه را قبول می‌کنند. شکل ۴۰ جمعیتی شامل افراد نوع تستین - ل، کرینسکی، کریلوف و پونومارف را نشان می‌دهد. همان‌طور که مشاهده می‌شود، در حالی که تقریباً تمام افراد نوع پونومارف شایعه را قبول کرده‌اند، هنوز شایعه در بین افراد نوع کریلوف به‌طور کامل پخش نشده است.

تأثیر شعاع همسایگی: همان‌گونه که قبلاً بررسی شد، افزایش شعاع همسایگی تأثیر مستقیمی بر افزایش سرعت پخش شایعه در جامعه دارد. در شکل ۴۱ نمودارهای چگالی افراد موافق با تغییر شعاع

خود سلول‌ها دارند. بنابراین، می‌توان گفت که شعاع همسایگی در آنها صفر است. به عنوان مثال می‌توان عمل آستانه‌بی<sup>۱۶</sup> را نام برده که در آن، مقادیری که بیشتر از مقدار مشخص<sup>۰</sup> هستند به<sup>۱</sup>، و مقادیری که کمتر از آن هستند به صفر تبدیل می‌شوند.

**عملیات برچسب‌گذاری و نشانه‌گذاری:** این عملیات نیز از دسته‌ی *I* بوده و از آنها برای تعیین نقاطی که شرایط مرزی خاص دارند استفاده می‌شود. مهم‌ترین مثال از این گروه، عملیات یافتن لبه<sup>۱۷</sup> است. **عملیات انقباض و انبساط:** این عملیات نیز از دسته‌ی *II* بوده که در آنها عمل برچسب‌گذاری برای تمام عضوهای<sup>۱</sup> متعلق به هسته و با شرایط مرزی زیر اعمال می‌شود:

$$d_{xy} = \begin{cases} 1 & \text{if } \sum A_{xy} = \wedge \\ 0 & \text{otherwise} \end{cases}$$

که در آن  $\sum A_{xy}$  مجموعه مقادیر سلول‌های همسایه<sup>(x,y)</sup> است و  $d_{xy}$  مقدار سلول<sup>(x,y)</sup> است که می‌تواند یک یا صفر باشد.

واضح است که وقتی تعداد یک‌ها کاهش می‌یابد، تعداد صفرها افزایش می‌یابد. بنابراین هر عمل انقباض یک عمل انبساط متناظر با خود دارد. با تغییر شرایط آستانه‌بی، ویژگی‌های جالب دیگری بدست می‌آید که در قسمت قوانین استفاده شده به آنها خواهیم پرداخت.

**عملیات هموارسازی:** این عملیات از دسته‌ی *III* و ترکیبی از عملیات انقباض و انبساط هستند. از ترکیب این دو عملیات، برای از بین بردن قسمت‌های بی‌قاعده<sup>۱۸</sup>، مانند احنا دادن به لبه‌های تیز، استفاده می‌شود.

● **عملیات وابسته به داده:** در عملیات وابسته به داده تعداد دفعاتی که یک *CLO* باید اعمال شود وابسته به داده است. در بعضی شرایط، برخی از ویژگی‌های خاص تصویر باستی آزمایش شود و اگر این آزمایش با موفقیت انجام شود، دنباله‌ی بعد آغاز می‌شود و چنانچه آزمایش با موفقیت انجام نشود، باعث از بین رفتن اطلاعات می‌شود. واضح است که عملیات دسته‌ی *I* وابسته به داده نیستند. از آنجا که بدنبال هر *CLO* (یا گروهی از *CLO*‌ها) های مربوط به آزمودن شرایط پایانی قرار دارند، تمام عملیات وابسته به داده از دسته‌ی *III* هستند. بعضی از عملیات وابسته به داده‌ی بررسی شده در

این نوشتار به شرح زیر است:

- عملیات ظرفی‌سازی: به طور کلی می‌توان گفت که در عملیات ظرفی‌سازی به مرور پنهانی تصویر کاهش می‌یابد تا به مقدار واحد برسد. در ضمن دقت می‌شود تا یک شیء، چند تکه نشود و چند شیء

همسايگي *R* نشان داده شده است. در اين آزمایش‌ها  $= 1$  است. افراد جامعه نيز از نوع تستلين -L با پارامتر اثرپذيری  $\frac{1}{5}$  (عمق حافظه<sup>۵</sup>) هستند.

**نتيجه گيري:** برای بررسی پخش شايده در يك جمعيه، می‌توان از *CA* احتمالي استفاده کرد؛ يعني هر عضو موافق با مخالف جامعه ممکن است با احتمالي تغيير عقيده دهد. اين تغيير حالت ناگهاني نمي‌تواند به خوبی رفتار افراد جامعه را شبیه‌سازی کند. افراد در پذيرفتن يك شايده و نيز در رد آن معمولاً به صورت ناگهاني عمل نمي‌کنند، بلکه هر بار که يك شايده را مى‌شنويم آن شايده برای ما ييشتر عينيت پيدا مي‌کند. و هر بار که آن شايده تقض می‌شود صحت آن نيز برای ما كمتر می‌شود. لذا مدل اتوماتای یادگیر سلولی مدل مناسب‌تری نسبت به مدل‌های اتوماتای سلولی و اتوماتای سلولی احتمالي است. چرا که رفتار هر فرد را می‌توان به نحو بهتری با اتوماتاهای یادگیر شبیه‌سازی کرد.<sup>[۲۲]</sup>

**كاربرد اتوماتای یادگیر سلولی در پردازش تصاویر**  
عملیات منطقی سلولی<sup>۱۹</sup> (*CLO*) به صورت رقمی بر روی آرایه‌ی *P(I,J)* عمل کرده و آن را به آرایه‌ی *P'(I,J)* تبدیل می‌کنند. مقدار هر عضو در آرایه جدید براساس مقدار آن در آرایه قبلي، و نيز مقدار قبلي نزديك ترین همسایه‌ها يش به دست می‌آيد. *CLO* را می‌توان بر اساس نوع دنباله‌های *CLO* به سه دسته طبقه‌بندی کرد:

*I.* دنباله‌هایی که فقط يك بار اعمال می‌شوند.

*II.* يك *CLO* را چندين بار تكرار می‌کنند.

*III.* به طور متناوب چند دنباله از *CLO*‌ها را تكرار می‌کنند.

گاهی دنباله‌ها پس از تعدادی تكرار که از پيش تعين شده است، خاتمه می‌يانند که در اين صورت به آنها عملیات مستقل از داده<sup>۱۴</sup> گونيم و گاهی نيز بر اساس يك آزمایش بر روی محتويات آرایه خاتمه می‌يانند که در اين صورت نيز به آنها عملیات وابسته به داده<sup>۱۵</sup> گفته می‌شود. از آنجا که در مدل اتوماتای یادگیر سلولی همیشه يك قانون ثابت اعمال می‌شود، فقط دسته‌های *I* و *II* در اينجا بررسی خواهند شد.

● **عملیات مستقل از داده:** در عملیات مستقل از داده تعداد دفعاتی که يك *CLO* باید اعمال شود مستقل از داده است. بعضی از عملیات بررسی شده‌ی مستقل از داده به شرح زير است:

- عملیات محاسباتی. اين عملیات از دسته‌ی *A* بوده و فقط نياز به مقادير

د) گروه چهارم قوانینی هستند که تصویر را منقبض می‌کنند:

۶۷۸۹\_۰۱۲۲۴۵

۷۸۹\_۰۱۲۲۴۵۶

۸۹\_۰۱۲۲۴۵۶۷

۹\_۰۱۲۲۴۵۶۷۸

ه) گروه پنجم شامل قانون ۴۵- است که در صورت استفاده از این قانون با اتوماتای کریلوف ساختارهایی شبیه به اسکلت به دست می‌آید.

نتایج حاصل از آزمایشات پردازش تصویر: در اکثر آزمایشات انجام شده تصاویر اولیه مطابق شکل ۴۲ هستند.

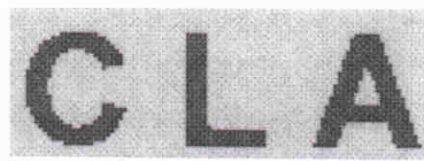
دو گروه آزمایش انجام گرفته است: گروه اول با استفاده از اتوماتای سلولی و گروه دوم با استفاده از اتوماتای یادگیر سلولی. در صورت استفاده از اتوماتای سلولی نتایج زیر بدست آمده است.

(الف) در قوانین گروه اول، لبی تصویر در یک مرحله بدست می‌آید.

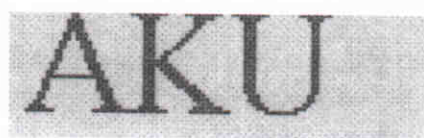
(ب) در مجموعه قوانین گروه دوم، هر چه به سمت پایین حرکت کنیم، داخل منحنی‌ها زودتر منبسط می‌شود و هر چه به سمت بالا حرکت کنیم، تصویر به صورت یکنواخت منبسط می‌شود (با حفظ خصوصیات ظاهری آن).

(پ) در قوانین گروه سوم، تصویر هموار می‌شود.

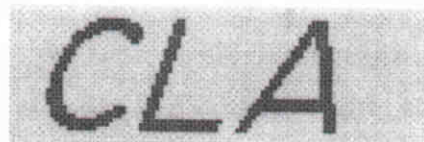
ت) در مجموعه قوانین گروه چهارم، هر چه به سمت پایین حرکت کنیم، تصویر به صورت یکنواخت منقبض می‌شود (با حفظ خصوصیات ظاهری آن)، و هر چه به سمت بالا حرکت کنیم، قسمت پیروزی تصویر زودتر منقبض می‌شوند.



(الف)



(ب)



(ج)

شکل ۴۲. تصاویر اولیه برای آزمایشات انجام شده.

به هم متصل نشوند. این عملیات وابسته به داده‌اند چرا که باید زمانی

متوقف شوند که دیگر نقاط داخلی وجود نداشته باشند.

عملیات اسکلت‌بندی: در این عملیات نقاطی تشکیل می‌شوند که از حداقل دو نقطه‌ی روی لبی شیء به یک فاصله باشند. از مزایای این عملیات، کاهش حجم اطلاعات ذخیره شده برای تصویر است.

در ادامه‌ی این بخش، کاربرد اتوماتای یادگیر سلولی در پردازش تصاویر مورد بررسی قرار می‌گیرد. نشان داده خواهد شد که چگونه عملیات مختلف در پردازش تصاویر نظری عملیات ظریف‌سازی، اسکلت‌بندی، انقباض، هموارسازی، انبساط و حذف اغتشاش توسط اتوماتای یادگیر سلولی انجام می‌گیرد. برای سادگی، فرض می‌شود که تصویر مورد آزمایش از نقاط سیاه و سفید تشکیل شده باشد. به‌منظور پردازش، در ابتدا تصویر مورد نظر در CLA حفظ می‌شود. هر اتوماتا در CLA یک پیکسل از تصویر را دریافت می‌کند. اگر پیکسل داده شده به یک اتوماتا سیاه یا سفید باشد، آن اتوماتا کار خود را بر فتار  $\alpha_1$  (۰ $\alpha_2$ ) آغاز می‌کند.

قوانین استفاده شده برای پردازش تصویر: به‌طور کلی قوانین استفاده شده در آزمایشات بر روی تصاویر را می‌توان به پنج گروه زیر تقسیم کرد:

(الف) این گروه شامل قانون ۹- است که برای یافتن لبه استفاده می‌شود. طبق این قانون اگر هر ۹ اتوماتا در یک ناحیه‌ی  $3 \times 3$  در تصویر رفتار  $\alpha_1$  را انتخاب کرده باشد (سیاه باشد) رفتار اتوماتای مرکزی جریمه می‌شود و در غیر آن صورت به رفتار اتوماتای مرکزی که می‌تواند  $\alpha_1$  یا  $\alpha_2$  باشد پاداش داده می‌شود (به این دلیل که مجموعه  $N$  تهی است).

(ب) این گروه قوانینی هستند که تصویر را منبسط می‌کنند:

۱۲۲۴۵۶۷۸۹\_۰

۲۲۴۵۶۷۸۹\_۰۱

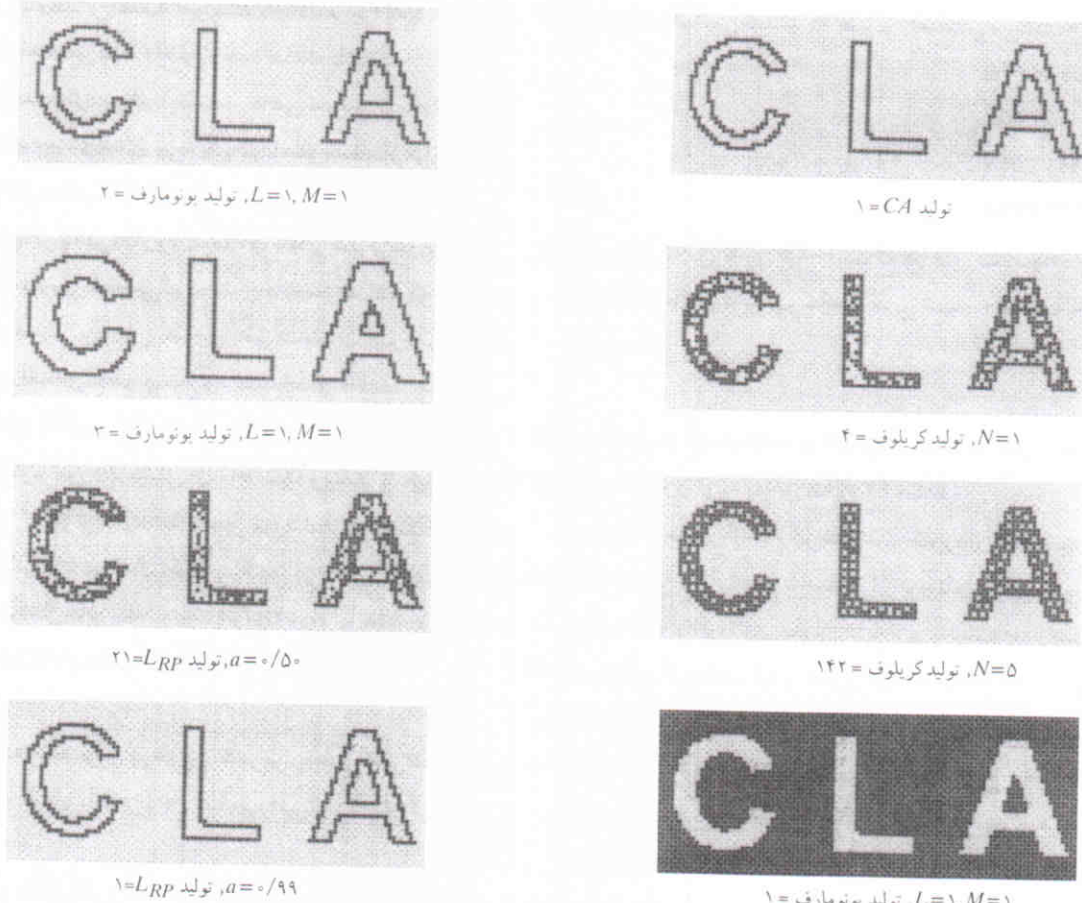
۳۴۵۶۷۸۹\_۰۱۲

۴۵۶۷۸۹\_۰۱۲۳

آخرین قانون در گروه فوق بدین معنی است که اگر بین ۴ تا ۹ اتوماتا در یک ناحیه‌ی  $3 \times 3$  در تصویر رفتار  $\alpha_1$  انتخاب کرده باشد (سیاه باشد) به رفتار اتوماتای مرکزی پاداش داده می‌شود، و اگر کمتر یا مساوی ۳ باشد، اتوماتا رفتار  $\alpha_2$  را انتخاب کرده است (سفید است) و رفتار اتوماتای مرکزی جریمه می‌شود.

(ج) گروه سوم شامل قانون اکثریت است که از آن برای هموارسازی و همچنین بر طرف کردن اغتشاش استفاده می‌کنیم:

۵۶۷۸۹\_۰۱۲۲۴



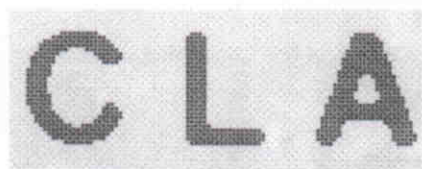
نگاتیو تصویر به دست می آید و سپس در دو مرحله‌ی بعد، دو تصویر دیگر به دست می آید: یکی لبه‌ی خود تصویر و دیگری لبه‌ی نگاتیو تصویر. در اتماتاهای با ساختار متغیر، چنانچه پارامتر  $a$  را افزایش دهیم نتایج حاصله با نتایج حاصل از اتماتاهای سلوی شباهت بسیاری پیدا می‌کند و با کاهش پارامتر  $a$ ، داخل تصویر کاملاً روشن نمی‌شود. در تمام موارد سیستم به تصویر نهایی همگرا می‌شود. نتایج حاصل از این آزمایش‌ها در شکل ۴۳ آمده است.

برای قوانین گروه دوم چنانچه از اتماتای پونومارف استفاده کنیم، قانون در مورد تصویر اعمال می‌شود و عکس آن در مورد نگاتیو تصویر اعمال می‌شود. در این اتماتا افزایش  $L$  و  $M$  باعث افزایش تعداد نسل‌های سپری شده بین دو تصویر متواالی می‌شود. افزایش  $M$  باعث افزایش تعداد نسل‌های سپری شده بین دو تصویر متواالی و افزایش  $L$  باعث افزایش تعداد نسل‌های سپری شده بین دو تصویر متواالی در نگاتیو می‌شوند. سیستم به تصویر نهایی همگرا نمی‌شود و دانماً منبسط می‌شود. نتایج حاصل از آزمایشات برای قانون ۹ در شکل ۴۴ آمده است.

در ادامه به بررسی آزمایش‌های انجام گرفته توسط اتماتای یادگیر سلوی می‌پردازیم. برای آزمایش‌هایی که با  $CLA$  انجام گرفته است در صورت استفاده از اتماتاهای با ساختار متغیر، احتمال اولیه‌ی رفتارها برای نقاط سیاه  $p_1 = 0.9999$  و  $p_2 = 0.0001$  و برای نقاط سفید  $p_1 = 0.0001$  و  $p_2 = 0.9999$  است.

آزمایشات انجام گرفته نشان داده است که اتماتای  $CLA$  برای پردازش تصاویر مناسب نیست. اتماتاهای تستلین -L، تستلین -J و کرینسکی نیز رفتاری مشابه با اتماتای سلوی دارند و افزایش عمق حافظه در آنها صرفاً بر تعداد نسل‌های سپری شده بین دو تصویر متواالی می‌افزاید.

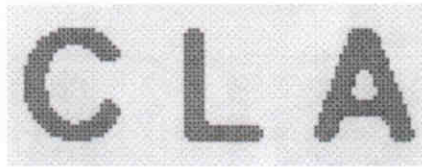
برای قوانین گروه اول، در صورت استفاده از اتماتا کریلوف قسمت‌های تیره‌ی تصویر به صورت ترکیبی از سلول‌های تیره و روشن در می‌آیند که با افزایش عمق حافظه، سلول‌های روشن تصویر در همسایگی هم قرار نمی‌گیرند. البته افزایش عمق حافظه باعث بیشتر شدن تعداد نسل‌های سپری شده بین دو تصویر متواالی می‌شود. در صورت استفاده از اتماتای پونوماروف، در مرحله اول



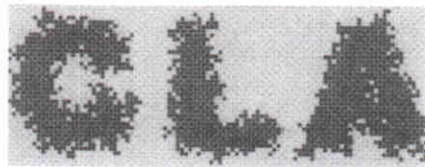
$\gamma = CA$  تولید



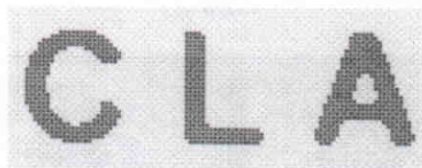
$\gamma = CA$  تولید



$\gamma = CA$ , تولید کریلوف  $N=1$



$\gamma = CA$ , تولید کریلوف  $N=1$



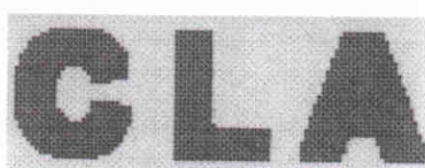
$\gamma = L_{RP}$ , تولید  $a = 0/01$



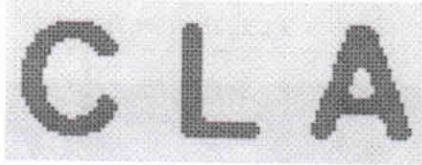
$\gamma = L_{RP}$ , تولید پونومارف  $L=1, M=1$



$\gamma = L_{RP}$ , تولید  $a = 0/00$



$\gamma = L_{RP}$ , تولید پونومارف  $L=1, M=1$



$\gamma = L_{RP}$ , تولید  $a = 0/99$

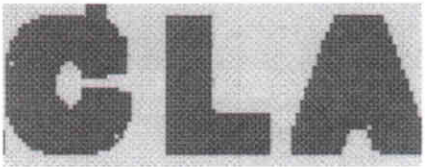


$\gamma = L_{RP}$ , تولید  $a = 0/00$

شکل ۴۵. تصاویر حاصل از آزمایشات انجام شده با قانون اکثریت.

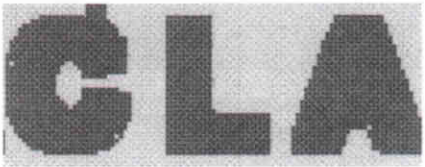
پارامتر  $N=1$  به خوبی اغتشاش را حذف نمی‌کند. با افزایش عمق حافظه نتایج بهتری بدست آمد. نتایج حاصل از حذف اغتشاش  $\gamma=0.30$  در شکل ۴۷ آورده شده است.

برای گروه چهارم قوانین نیز آزمایشاتی با اتموماتاهای مختلف انجام شده است. در این گروه نیز چنانچه از اتموماتای پونومارف استفاده کنیم، قانون در مورد تصویر اعمال و عکس آن در مورد نگاتیو تصویر اعمال می‌شود. همچنین در این اتموماتا افزایش  $L$  و  $M$  باعث افزایش تعداد نسل‌های سپری شده بین دو تصویر متواالی می‌گردد، افزایش  $M$  باعث افزایش تعداد نسل‌های سپری شده بین دو تصویر متواالی و افزایش  $L$  باعث افزایش تعداد نسل‌های سپری شده بین دو تصویر متواالی در نگاتیو می‌شوند. سیستم به تصویر نهایی همگرا شده است. برای قانون  $N=0.1234567890$  در شکل ۴۸ آورده شده است.

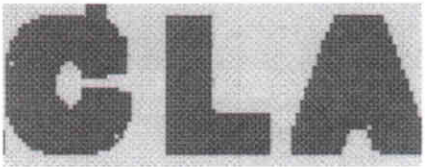


شکل ۴۶. تصاویر حاصل از آزمایشات انجام شده با قانون  $N=0.1234567890$ .

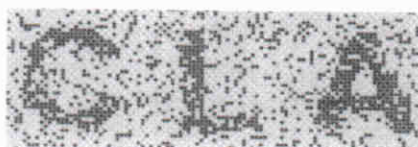
مطابق شکل ۴۵ تمام اتموماتاهای توانایی حذف لبه‌های تیز را باستفاده از قانون اکثریت (گروه سوم قوانین) دارند. در تمام موارد سیستم به تصویر نهایی همگرا شده است. همچنین از قانون اکثریت برای حذف اغتشاش گوسی در تصاویر استفاده شد. در تمام موارد سیستم به تصویر نهایی همگرا شده است. در شکل ۴۶ تصاویر حاصل از حذف اغتشاش  $15\%$  از اینه شده است. در حذف اغتشاش  $30\%$  مشاهده شد که اتموماتای کریلوف با



$\gamma = L_{RP}$ , تولید  $a = 0/99$



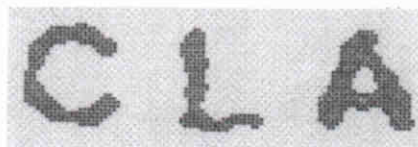
$\gamma = L_{RP}$ , تولید  $a = 0/99$



تصویر اولیه (دارای اغتشاش ۳۰٪)



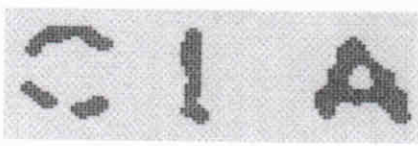
تصویر اولیه (دارای اغتشاش ۱۵٪)



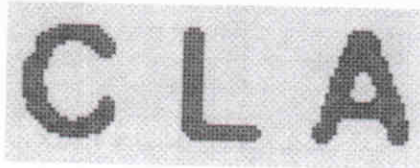
$\hat{x} = CA$  تولید



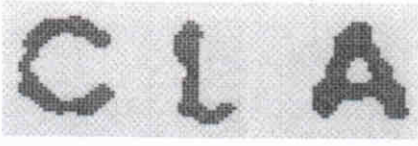
$\hat{x} = CA$  تولید



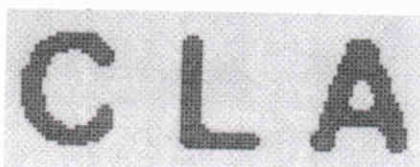
$\hat{x}^o = CA$ , تولید کریلوف,  $N=1$



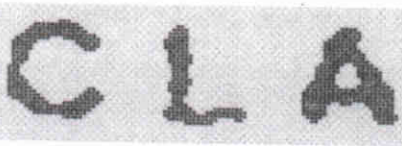
$\hat{x}^o = CA$ , تولید کریلوف,  $N=1$



$\hat{x}^o = CA$ , تولید کریلوف,  $N=1$



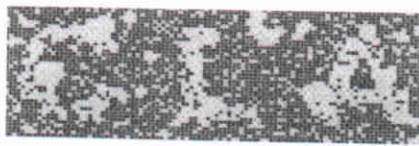
$\hat{x}^o = CA$ , تولید یونومارف,  $L=2, M=2$



$\hat{x}^o = CA$ , تولید یونومارف,  $L=2, M=2$



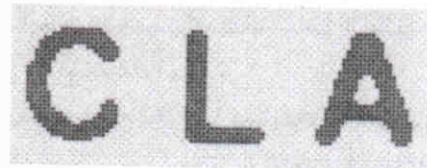
$\hat{x}^o = CA$ , تولید یونومارف,  $L=2, M=2$



$\hat{x}^o = CA$ , تولید یونومارف,  $L=2, M=2$



$\hat{x}^o = L_{RP}$ , تولید,  $a = ۰/۵۰$



$\hat{x}^o = L_{RP}$ , تولید,  $a = ۰/۵۰$



$\hat{x}^o = L_{RP}$ , تولید,  $a = ۰/۹۹$

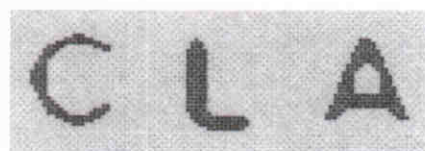


$\hat{x}^o = L_{RP}$ , تولید,  $a = ۰/۹۹$

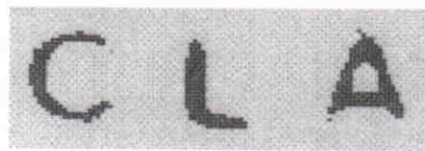
شکل ۴۶. تصاویر حاصل از آزمایشات انجام شده با قانون اکثریت برای حذف اغتشاش ۱۵٪.



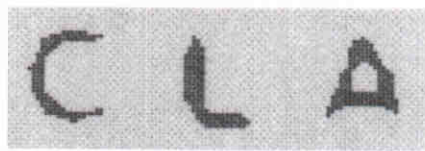
۱۱، تولید یونومارف =  $L=1, M=1$



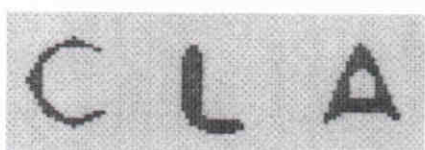
$\Delta=CA$  تولید



$\chi^o=L_{RP}$ ، تولید  $a=o/\Delta^o$



۱۳، تولید کریلوف =  $N=1$

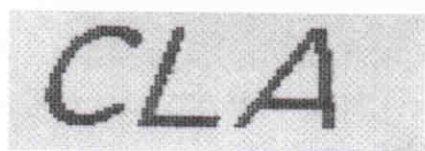


$\vartheta=L_{RP}$ ، تولید  $a=o/\vartheta$

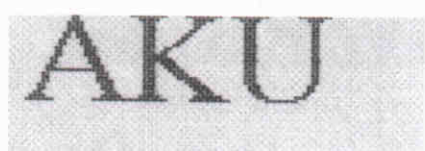


۱۰، تولید یونومارف =  $L=1, M=1$

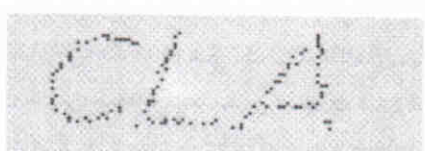
شکل ۴۸. تصاویر حاصل از آزمایشات انجام شده با قانون ۱۲۳۴۵-۶۷۸۹.



تصویر اولیه



تصویر اولیه



۴۱۶، تولید کریلوف =  $N=5$



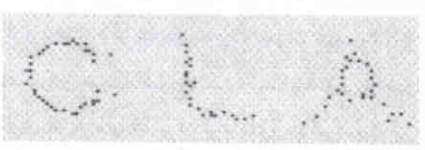
۴۸۷، تولید کریلوف =  $N=5$



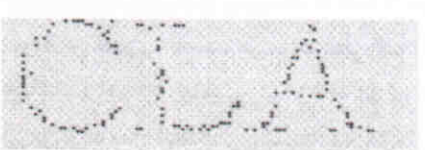
تصویر اولیه



تصویر اولیه

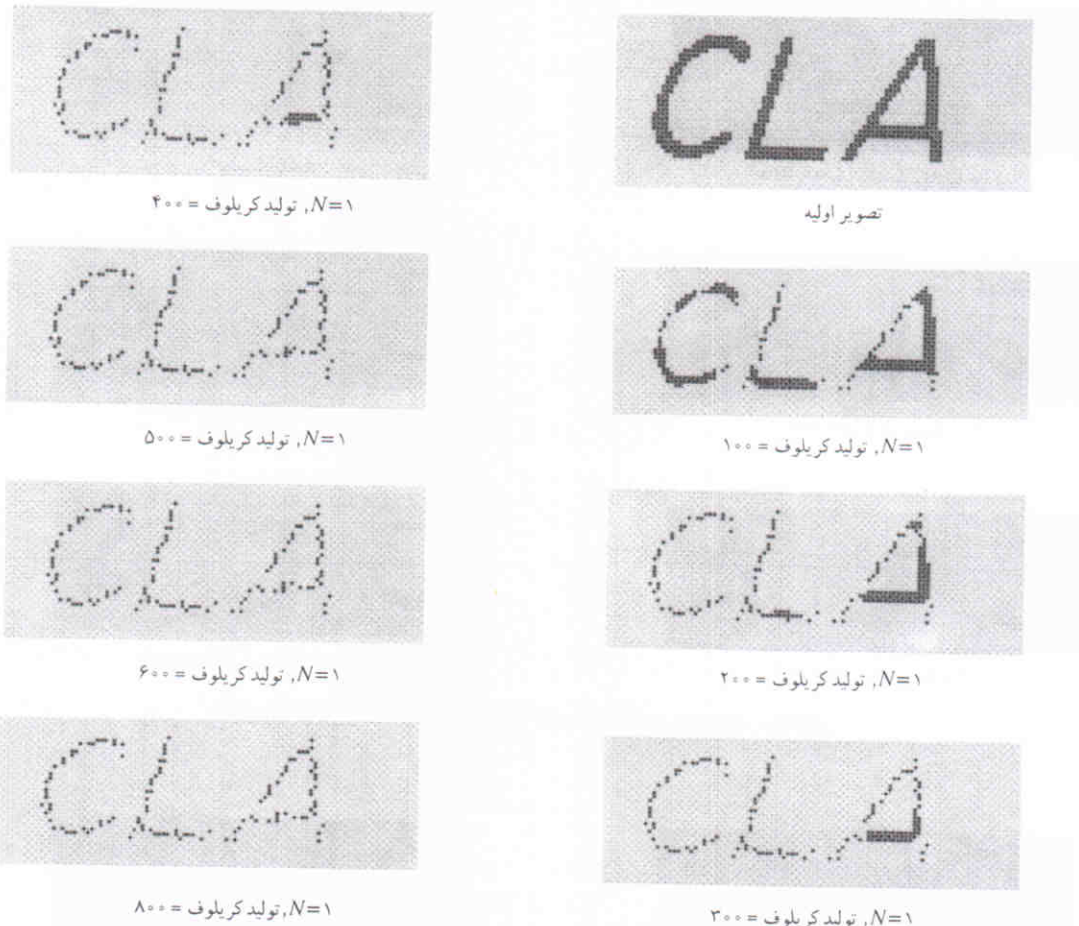


۶۷۵، تولید کریلوف =  $N=5$



۶۴۳، تولید کریلوف =  $N=5$

شکل ۴۹. تصاویر حاصل از آزمایشات انجام شده با قانون ۴۵-۴۵ و اتماتاتی کریلوف.



شکل ۵. نمایش همگرایی آزمایش انجام شده با اتماتاتی کریلوف و قانون ۴۵.-

شده است که برای پرهیز از طولانی شدن به آنها اشاره بی نمی شود.

### نتیجه گیری

در این نوشتار مدل جدیدی تحت عنوان اتماتاتی یادگیر سلوی معرفی شد و رفتار آن از طریق شبیه سازی رایانه بی مورد مطالعه و ارزیابی قرار گرفت. همچنین دو کاربرد این مدل در زمینه ای انتشار شایعه و پردازش تصاویر ارائه شد. نشان داده شده است که چگونه عملیات مختلف در پردازش تصاویر نظری عملیات اسکلت بندی، هموار سازی، انقباض، انبساط، ظرفی سازی و حذف اغتشاش می تواند توسط اتماتاتی یادگیر سلوی انجام گیرد.

نتایج ارائه شده این امید را می دهد که *CLA* بتواند مدل مناسبی برای پردازش تصویر، به خصوص در شرایطی که اغتشاش وجود داشته باشد، فراهم کند. همچنین نشان داده شد که اتماتاتی یادگیر سلوی می تواند مدل مناسب تری نسبت به مدل های گزارش شده برای انتشار شایعه باشد. برای اتماتاتی یادگیر سلوی می توان کاربردهای دیگری نیز متصور شد.<sup>[۲۷، ۲۶، ۲۴]</sup>

اتوماتاتی کریلوف با قانون گروه پنجم یعنی قانون ۴۵.- رفتاری از خود نشان می دهنده که در هیچ یک از اتماتاتاهای دیگر و همچنین اتماتاتی سلوی مشاهده نشد. بدین صورت که رفتاری مشابه ظرفی سازی از خود نشان می دهنده که هر چه ضخامت تصویر کمتر باشد تصویر نهایی به تصویر اولیه شباهت بیشتری پیدا می کند، و همگرایی شود.

در شکل ۴۹ برخی از آزمایشات انجام شده با تصاویر مختلف آرایه شده است. مشاهده می شود که تصویر بدست آمده از تصاویر آخر شباهت کمتری به آن دارد. همگرایی به تصویر نهایی در آزمایش شکل ۵۰ آمده است.

هدف در این نوشتار معرفی مدل اتماتاتی یادگیر سلوی بوده است و کاربردهای ذکر شده بیشتر در جهت تفهیم مدل و همچنین قابل استفاده بودن مدل طرح شده اند. با این وجود، مطالعات گسترده تری درباره کاربرد اتماتاتی یادگیر سلوی در پردازش تصویر در حال انجام است.<sup>[۲۵، ۲۴]</sup> در این گزارش ها روش های پیشنهادی با روش های کلاسیک مقایسه و برتری آنها نشان داده

### پانوشت

\* قسمتی از این پژوهه با حمایت مالی مرکز تحقیقات فیزیک نظری و ریاضیات (IPM) انجام گرفته است.

1. Cellular learning Automata (CLA)
2. Learning Automata (LA)
3. disjunctive normal form
4. chaotic
5. unfavorable hence
6. stationary environment
7. non-stationary environment
8. learning automata with fixed structure
9. action
10. learning automata with variable structure
11. local density
12. global density
13. cellular logic operation
14. data independent
15. data dependent
16. thresholding
17. edge detection
18. irregularities

### منابع

1. Von Neumann, J. *Theory of self-reproducing automata*, University of Illinois Press (1966).
2. Von Neumann, J. "The general logical theory of automata", *Cerebral Mechanisms in Behavior-The Hixon Symposium*, (1951).
3. Liu, Y., "Fractals, neural networks, cellular automata, formal language and coding theory", *Systems, Man and Cybernetics, IEEE International Conference on*, 2, pp 1663-1669 (1992a).
4. Liu, Y., "Two pattern learning algorithms using dynamical systems", *Intelligent Robots and Systems, Proceedings of IEEE/RSJ International Conference on* (1992b).
5. Taherkhani, M. *Proposing and studying of cellular learning automata as a tool for modeling systems*, M.Sc. Thesis, Computer Eng. Dept., Amirkabir University of Technology, Tehran, Iran (2000).
6. Adamatzky, A. *indentification of Cellular Automata*, Taylor & Francis Ltd., (1994).
7. Wolfram, S. "University and complexity in cellular automata", *Physica D*, 10, pp 1-35 (1984a).
8. Wolfram, S. "Statistical mechanics of cellular automata", *Review of Modern Physics*, 55, pp 601-644 (1983).
9. Wolfram, S. "Twenty problems in the theory of cellular automata", *Physica Scripta*, T9, pp 170-183 (1985).
10. Mitchell, M. "Computation in cellular automata: A selected review", Technical Report, Santa Fe Institute, Santa Fe, U.S.A. (1996).
11. Adami. C. *Interdroduction to artificial life*, Springer Verlag, New York, Inc., (1998).
12. Wolfram, S. *Theory and applications of cellular automata*, Singapor: World Scinetific Publishing Co. Pte. Ltd. (1986a).
13. Wolfram, S. *Theory and applications of cellular automata*, Singapor: World Scientific Publishing Co. Pte. Ltd., (1986a).
14. Sasiadhar, K., Chattopadhyay, S. and Chaudhuri, P. "CAA decoder for cellular automata based byte error correcting code", *IEEE Transactions on Computers*, 45 (9) (1996).
15. Srisuchinwong, B., York, T.A. and Tsalides, Ph. "A Symmetric cipher using autonomous and non-autonomous cellular automata", *Global Telecommunications Conference*, 2, pp 1172-1177 (1995).
16. Nandi, S., Kar, B.K., and Chaudhuri, P. "Theory and applications of cellular automata in cryptography", *IEEE Transactions on Computers*, 43, (12) (1994).
17. Boccara, N. and Fuks, H. "Modeling diffusion of innovations with probabilistic cellular automata", <http://WWW.uic.edu/~boccara/publications.html>, (1999).
18. Sahota, P., Daemi, M.F., and Elliman, D.G. "Training genetically evolving cellular automata for image processing", *International Symposium on Speech, Image Processing and Neural Networks*, (1994).
19. Preston, K.J.R., Duff, M.J.B., Levialdi, S., Norgren, P.E., and Toriwaki, J.-I. "Basics of cellular logic with some applications in medical image processing", *Proceedings of the IEEE*, 67 (5) (1979).
20. Narendra, K.S. and Thathachar, M.A.L. *Learning automata: An introduction*, Prentice Hall, Inc. (1989).
21. Mars, p., Chen, J.R. and nambir, R. "Learning algorithms: Theory and applications in signal processing, control and communications", CRC press, Inc , pp 5-24 (1996).
22. Meybodi, M. R. "Experiments with cellular learning automata", Technical Report, Amirkabir University of Technology, Computer Engineering Department, (August 2000), (in persian).
23. Meybodi, M. R., Beigy, H., and Taherkhani, M. "Cellular learning automata and its applications", Technical Report, Amirkabir University of Technology, Computer Engineering Department (March 2000) (in persian).
24. Meybodi, M.R., Kharazmi, M.R, "An algorithm based on cellular learning automata for image restoration" *Proceedings of The First Iranian Conferance on Machine Vision & Image Processing*, University of Birjand, 7-9, pp 244-254 (March 2001), (in persian).
25. Kharazmi, M. R. and Meybodi, M. R. "Feature extraction using cellular learning automata", Computer Engineering Department Technical Report KM2, Amirkabir University of Technology (2001).
26. Meybodi, M.R., Mehdipour, F. and Sahebozamani, M. "Cellular learning automata and its application to placement problem in VLST", Computer Engineering Department Technical Report MMS1, Amirkabir University of Technology, (2001), (in persian).
27. Meybodi, M.R., and Khojasteh, M.R. "Cellular learning automata as a model for commerce networks", *Proceedings of 6th Annual CSI Computer Conference*, CE Department, University of Isfahan, 20-22, pp 284-295 (Feb 2001). (in persian).